# Übersicht über die Vorlesung

- I. Einleitung
- II. Optik in Halbleiterbauelementen
- III. Herstellungstechnologien
- IV. Halbleiterleuchtdioden
  - IV.1 Elektrisches Verhalten
  - IV.2 Emissionseigenschaften von LEDs
  - IV.3 Effizienzen
  - IV.4 Auskoppelverluste
  - IV.5 Erhöhung der Auskoppeleffizienz

. . .

- V. Quantenmechanische Grundlagen der Optoelektronik
- VI. Laserdioden
- VII. Modulatoren
- VIII. Weitere Quantenbauelemente

5. Foliensatz SS 2016 01.06.2016

### pn-Übergang bei Vorspannung

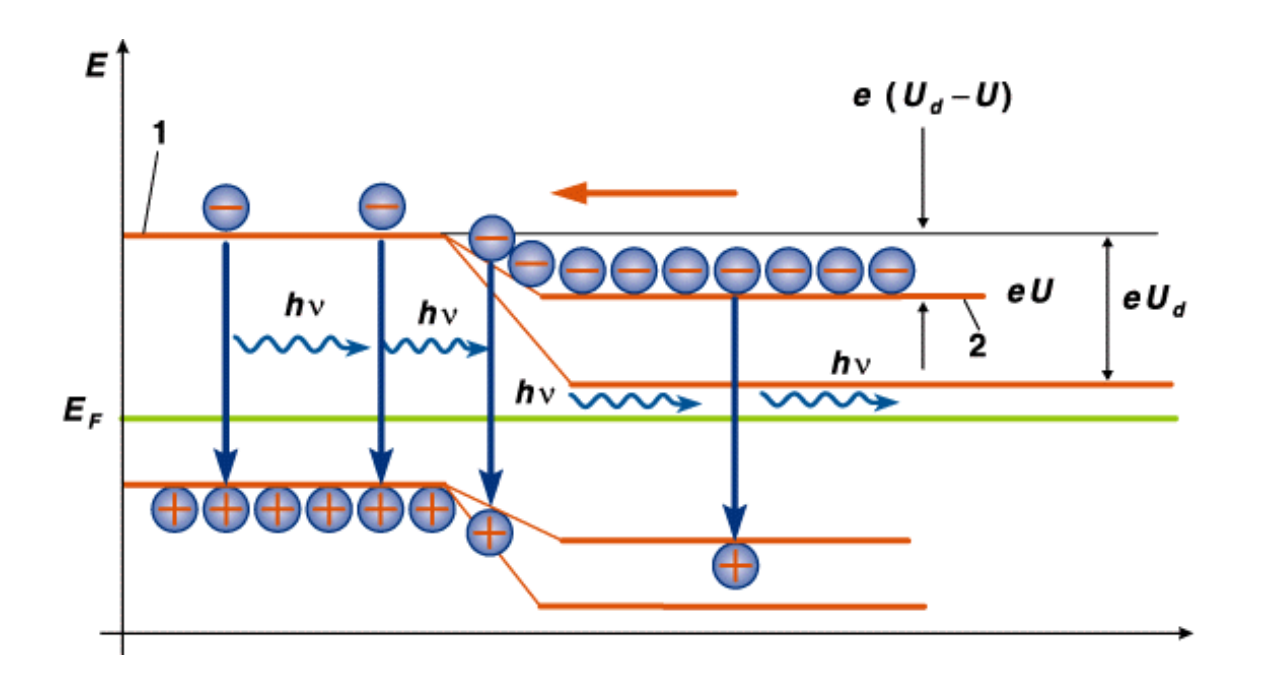


Abb.: Schema der Lichterzeugung in einer pn-Diode

- Rekombination von Elektronen und Löchern

#### Die ideale Diodenkennlinie

Quantitativ:

$$J = J_s \left( \exp^{\left( \frac{eU}{k_BT} \right)} - 1 \right)$$
 (  $J_s$ : Sperrsättigungsstromdichte)

$$J_{S} = e \left( \frac{D_{n}}{L_{n}} n_{p} + \frac{D_{p}}{L_{p}} p_{n} \right)$$

 $(D_{n,p}: e,h-Diffusionskonstante; L_{n,p}: e,h-Diffusionslängen;$ 

n<sub>p</sub>,p<sub>n</sub>: Minoritätsladungsträgerdichten)

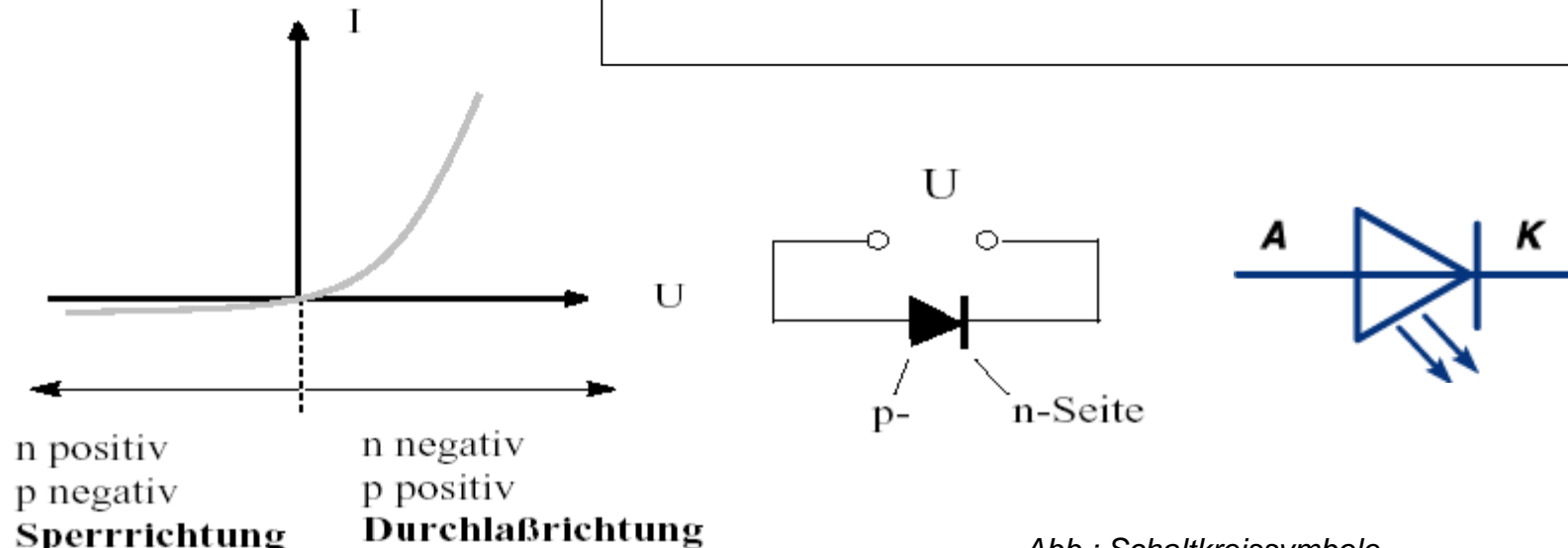


Abb.: Kennlinie einer pn-Diode

Abb.: Schaltkreissymbole

## LED ohne/mit Vorspannung

Optische Übergänge sind ohne Vorspannung im thermodynamischen Gleichgewicht mit der Umgebung:

→ Anzahl der Absorptionsübergänge = Anzahl der Emissionsvorgänge

Vorspannung sorgt für einen thermodynamischen Nichtgleichgewichtszustand:

Aufspaltung des Fermi-Niveaus

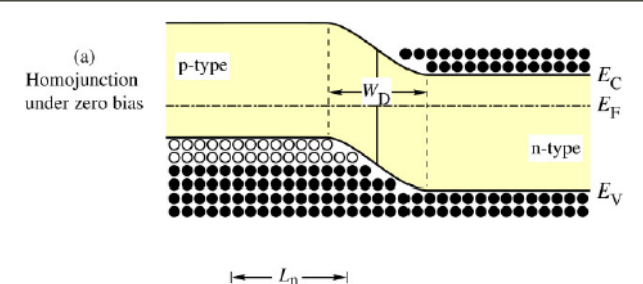
Quasi-Ferminiveau Elektronen  $E_F^e$ 

Quasi-Ferminiveau Löcher  $E_F^h$ 

zusätzliche Rekombinationsvorgänge

### **LED** operation

#### Carrier distribution in pn homo- and heterojunctions



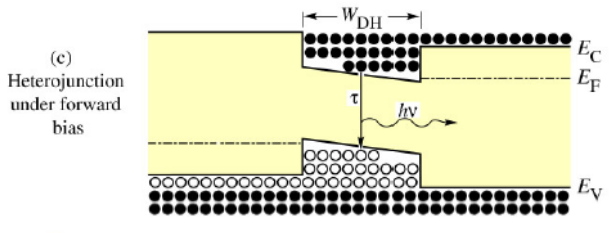
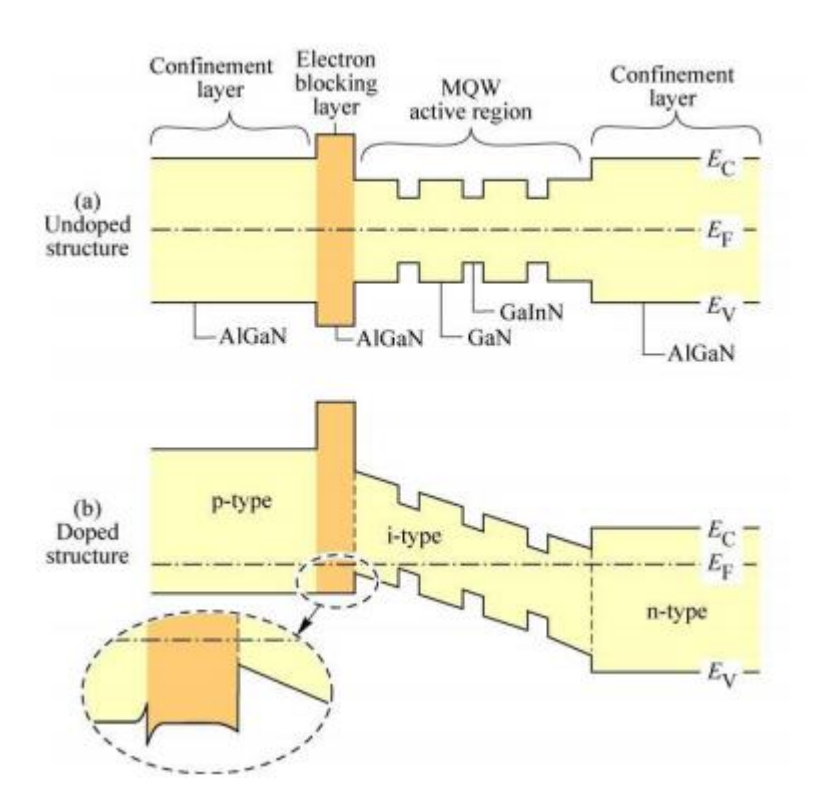


Fig. 4.6. P-N homojunction under (a) zero and (b) forward bias. P-N heterojunction (c) under forward bias. In homojunctions, carriers diffuse, on average, over the diffusion lengths  $L_{\rm n}$  and  $L_{\rm p}$  before recombining. In heterojunctions, carriers are confined by the heterojunction barriers.

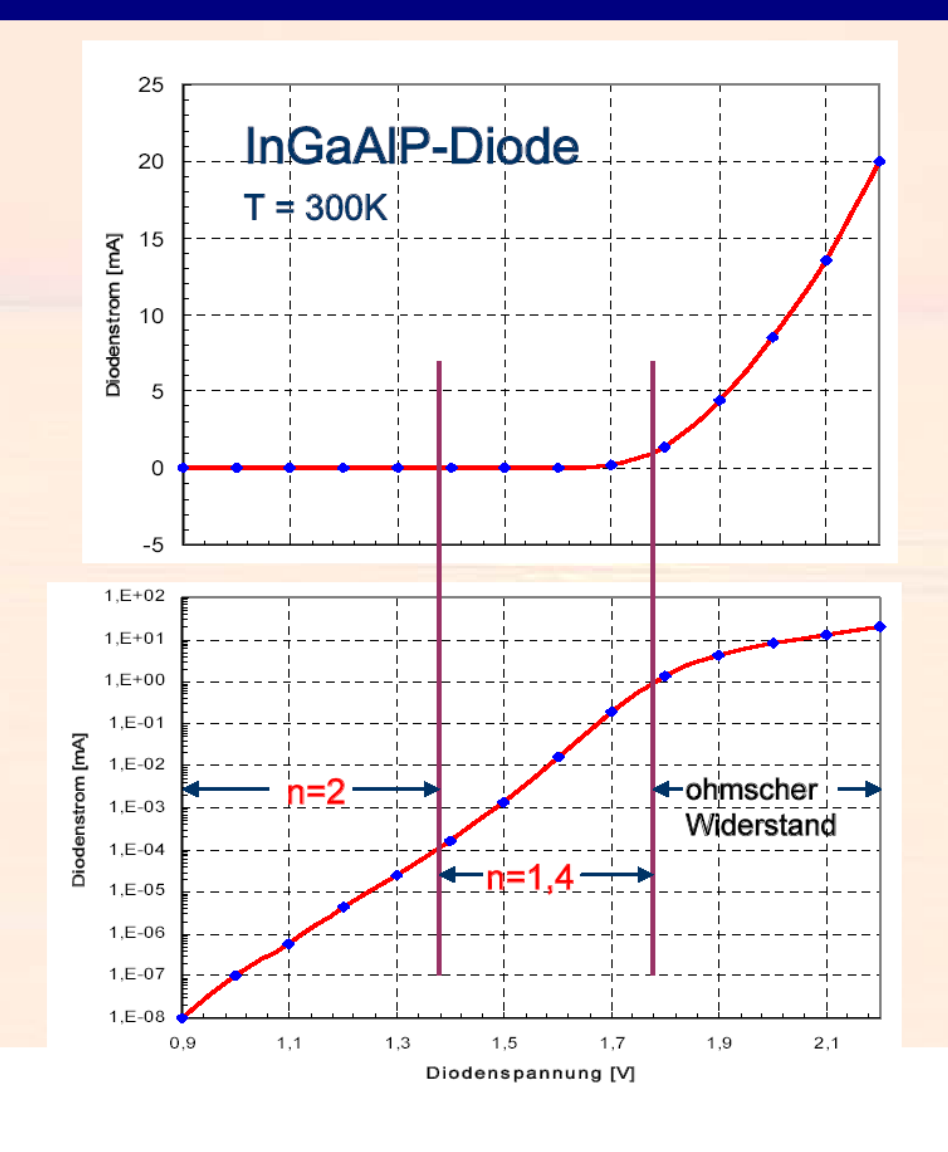
#### **Band diagram of a MQW-LED**



www.LIGHTEMITTING DIODES.org

© E. F. Schubert

#### Die elektrische Kennlinie einer LED



#### **Ideale** Shockley-Gleichung:

$$I(V) = I_s * \left[ exp \frac{eV}{k_B T} - 1 \right]$$

#### Reale Shockley-Gleichung:

$$I(V) = I_s * \left[ exp \frac{eV - eR_sI}{n k_BT} - 1 \right]$$

I<sub>s</sub> = Sättigungsstrom
R<sub>s</sub> = Serienwiderstand
n = Dioden Idealitätsfaktor

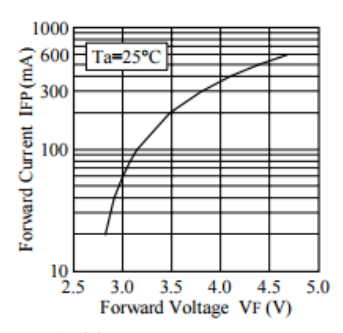
n=2: nichtstr. Rekomb. überwiegt bei kleinen Strömen

n=1,4: strahlende Rekombination beginnt zu überwiegen

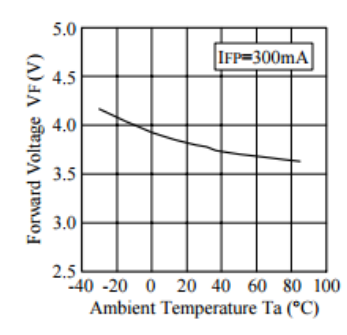
Quelle: Osram OS

#### Datenblatt Warmweiße Nichia LED

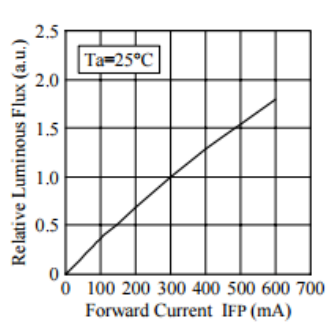
Forward Voltage vs.
 Forward Current



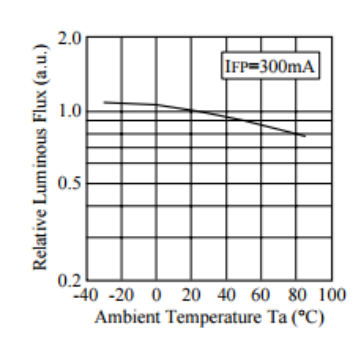
Ambient Temperature vs.
 Forward Voltage



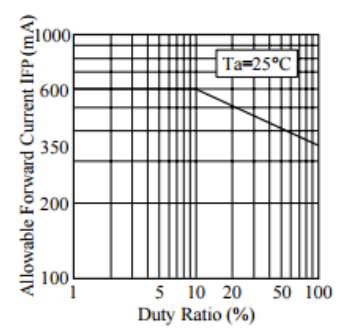
Forward Current vs.
 Relative Luminous Flux



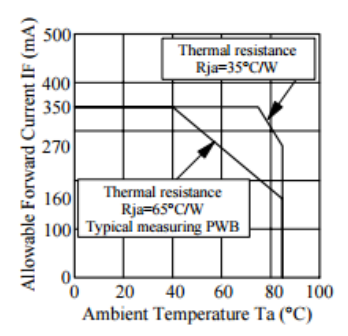
 Ambient Temperature vs. Relative Luminous Flux



Duty Ratio vs.
 Allowable Forward Current



Ambient Temperature vs.
 Allowable Forward Current

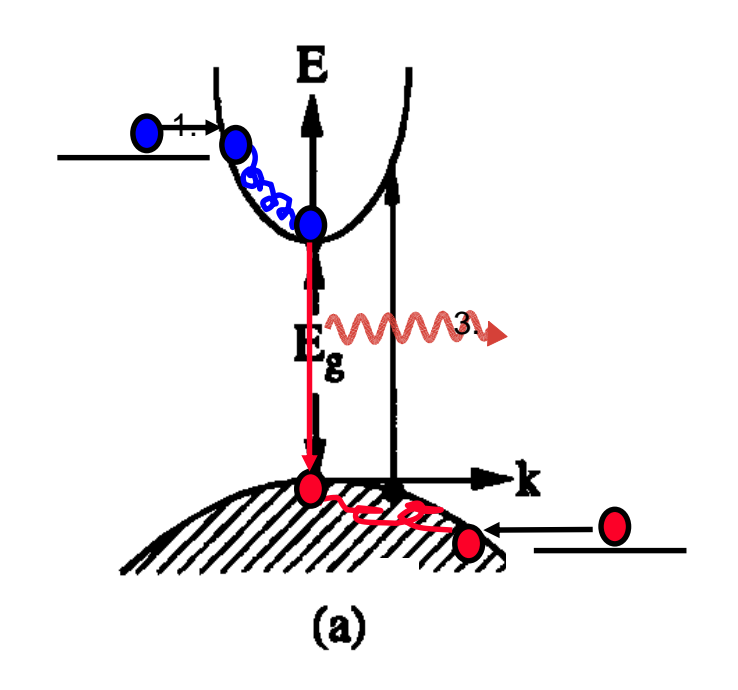


Nichia STSE-CC7136A <Cat.No.070706>

# Übersicht über die Vorlesung

- I. Einleitung
- II. Optik in Halbleiterbauelementen
- III. Herstellungstechnologien
- IV. Halbleiterleuchtdioden
  - IV.1 Elektrisches Verhalten
  - IV.2 Emissionseigenschaften von LEDs
  - IV.3 Effizienzen
  - IV.4 Auskoppelverluste
  - IV.5 Erhöhung der Auskoppeleffizienz
  - IV.6 Weisse LEDs
- V. Quantenmechanische Grundlagen der Optoelektronik
- VI. Laserdioden
- VII. Betrieb von Leucht- und Laserdioden
- VIII. Modulatoren
- IX. Weitere Quantenbauelemente

#### **Emissionsspektren**



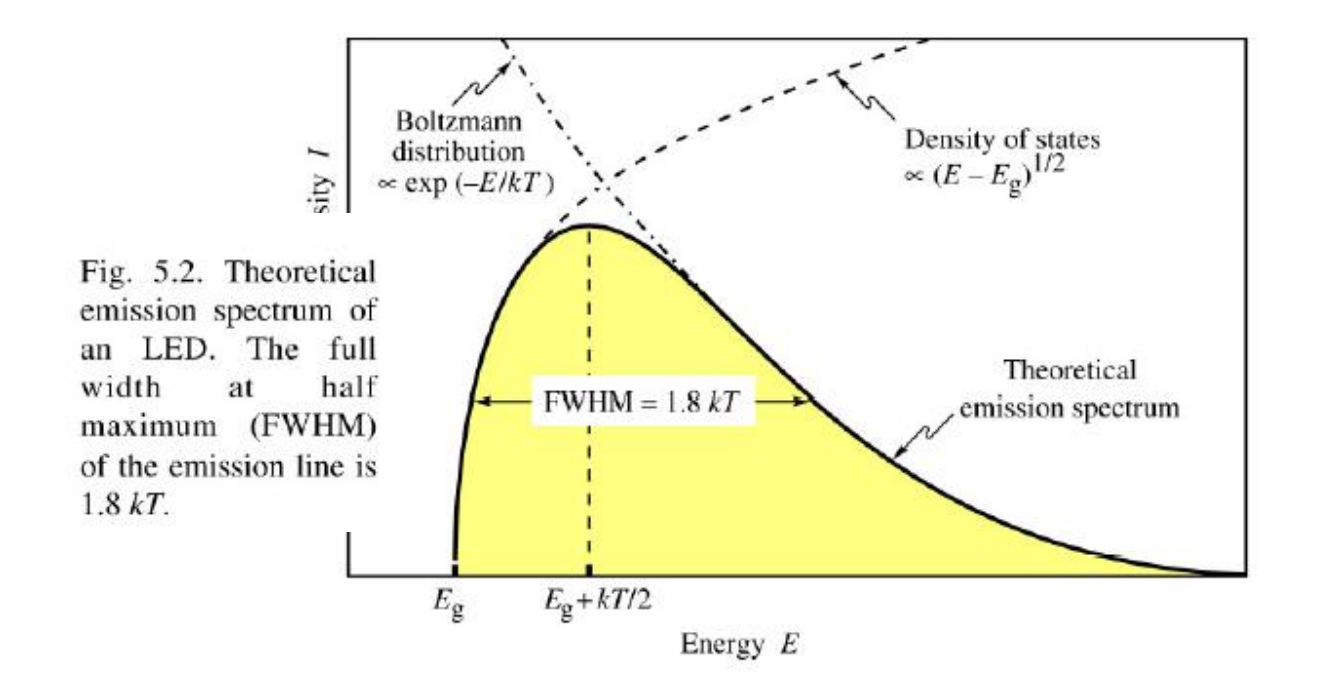
Eine Emission bei einer bestimmten Photonenergie hv kann stattfinden, wenn

-der Ausgangszustand bei der Energie E<sub>i</sub> im Leitungsband mit einem Elektron besetzt ist,

-der Endzustand bei der Energie E<sub>f</sub> unbesetzt ist.

Daher bestimmen die Besetzungsfunktionen für Elektronen und Löcher und die Zustandsdichten das Emissionsspektrum.

#### **Emission spectrum**



Das Spektrum der LED wird (theoretisch) bestimmt durch die spektrale Abhängigkeit von Zustandsdichte und Besetzungsfunktionen von Elektronen und Löchern.

$$I(E) \propto \sqrt{E - E_g} e^{-E/(kT)}$$

$$E = E_{g} + \frac{1}{2} k T$$

$$\Delta E = 1.8 \ kT$$

$$I(E)$$
 = emission spectrum

Energy of maximum emission intensity

Spectral width

### Emissionseigenschaften von Leuchtdioden



Vorsicht bei der Umrechnung von Linienbreiten bei einer Auftragung gegen die Photonenenergie und die Wellenlänge.

$$E = \hbar \omega = h\nu = h\frac{1}{T} = \frac{hc}{\lambda}$$
$$dE = -\frac{hc}{\lambda^2} d\lambda; \ \Delta\lambda = \left|\frac{\lambda^2}{hc}\right| \Delta E$$

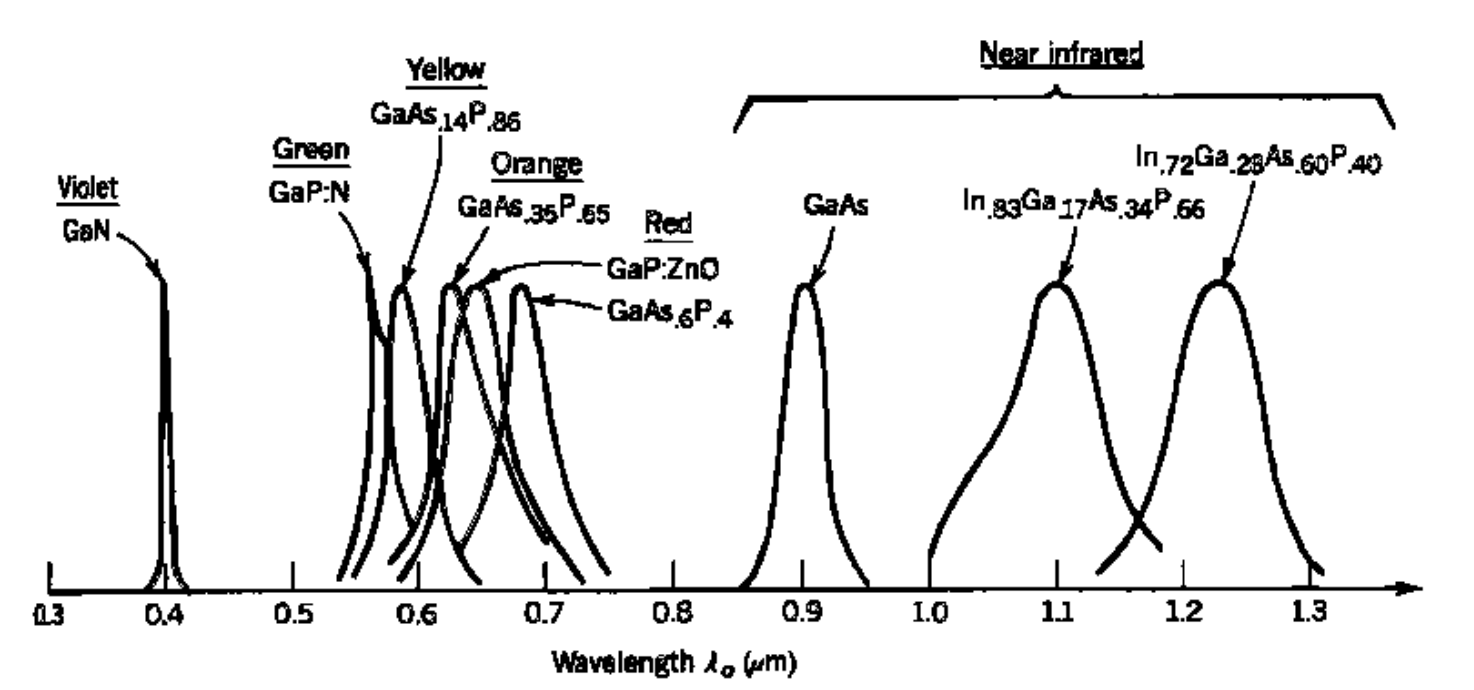


Abb.: Emissionsspektren verschiedener LEDs

## Übersicht über die Vorlesung

- Einleitung
- II. Optik in Halbleiterbauelementen
- III. Herstellungstechnologien
- IV. Halbleiterleuchtdioden
  - IV.1 Elektrisches Verhalten
  - IV.2 Emissionseigenschaften von LEDs
  - IV.3 Effizienzen
  - IV.4 Auskoppelverluste
  - IV.5 Erhöhung der Auskoppeleffizienz
  - IV.6 Weisse LEDs
- V. Quantenmechanische Grundlagen der Optoelektronik
- VI. Laserdioden
- VII. Betrieb von Leucht- und Laserdioden
- VIII. Modulatoren
- IX. Weitere Quantenbauelemente

#### Quanteneffizienzen bei LEDs

Internal, extraction, external, and power efficiency

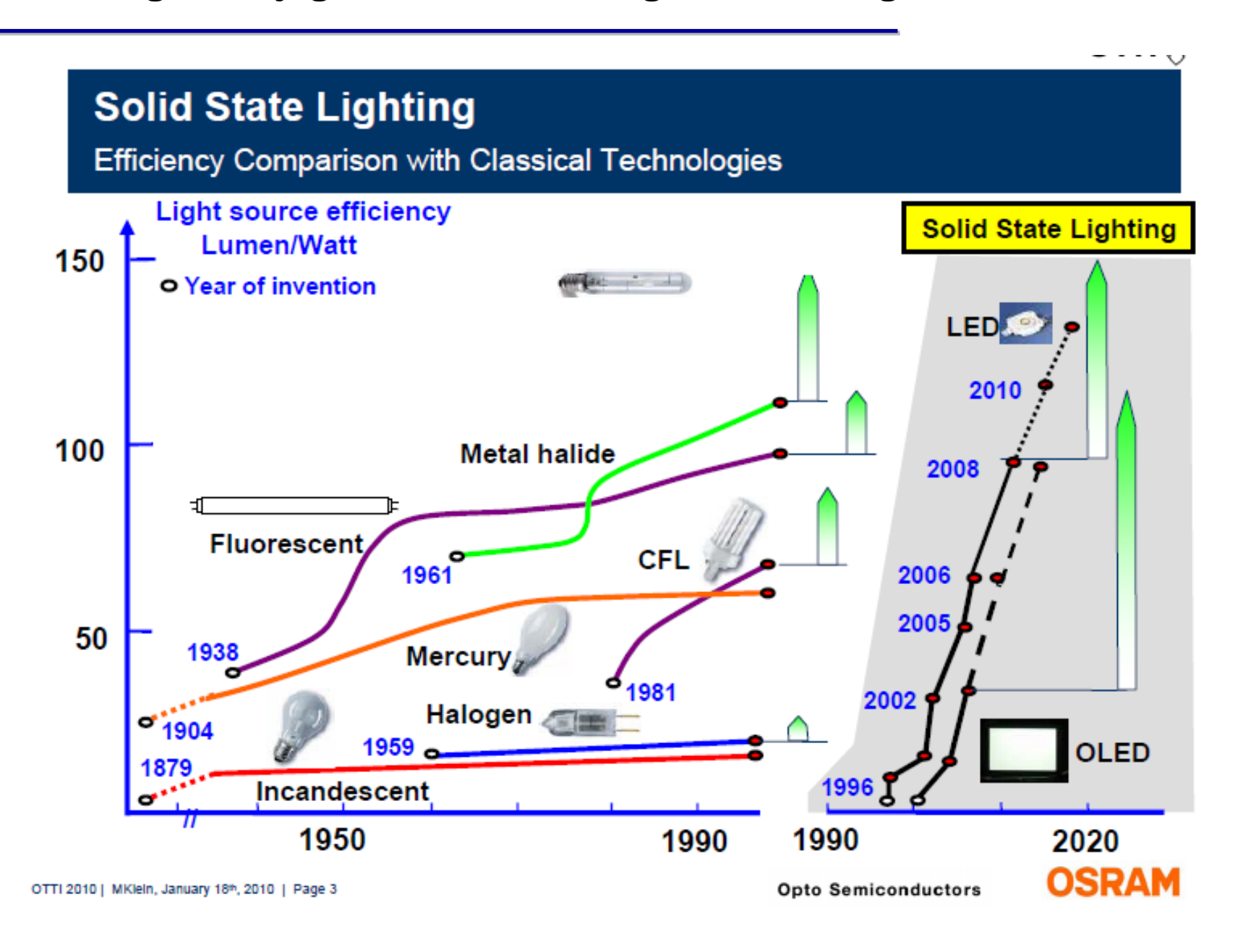
$$\eta_{\text{int}} = \frac{\text{# of photons emitted from active region per second}}{\text{# of electrons injected into LED per second}} = \frac{P_{\text{int}} / (h \nu)}{I / e}$$

$$\eta_{\text{extraction}} = \frac{\text{# of photons emitted into free space per second}}{\text{# of photons emitted from active region per second}}$$

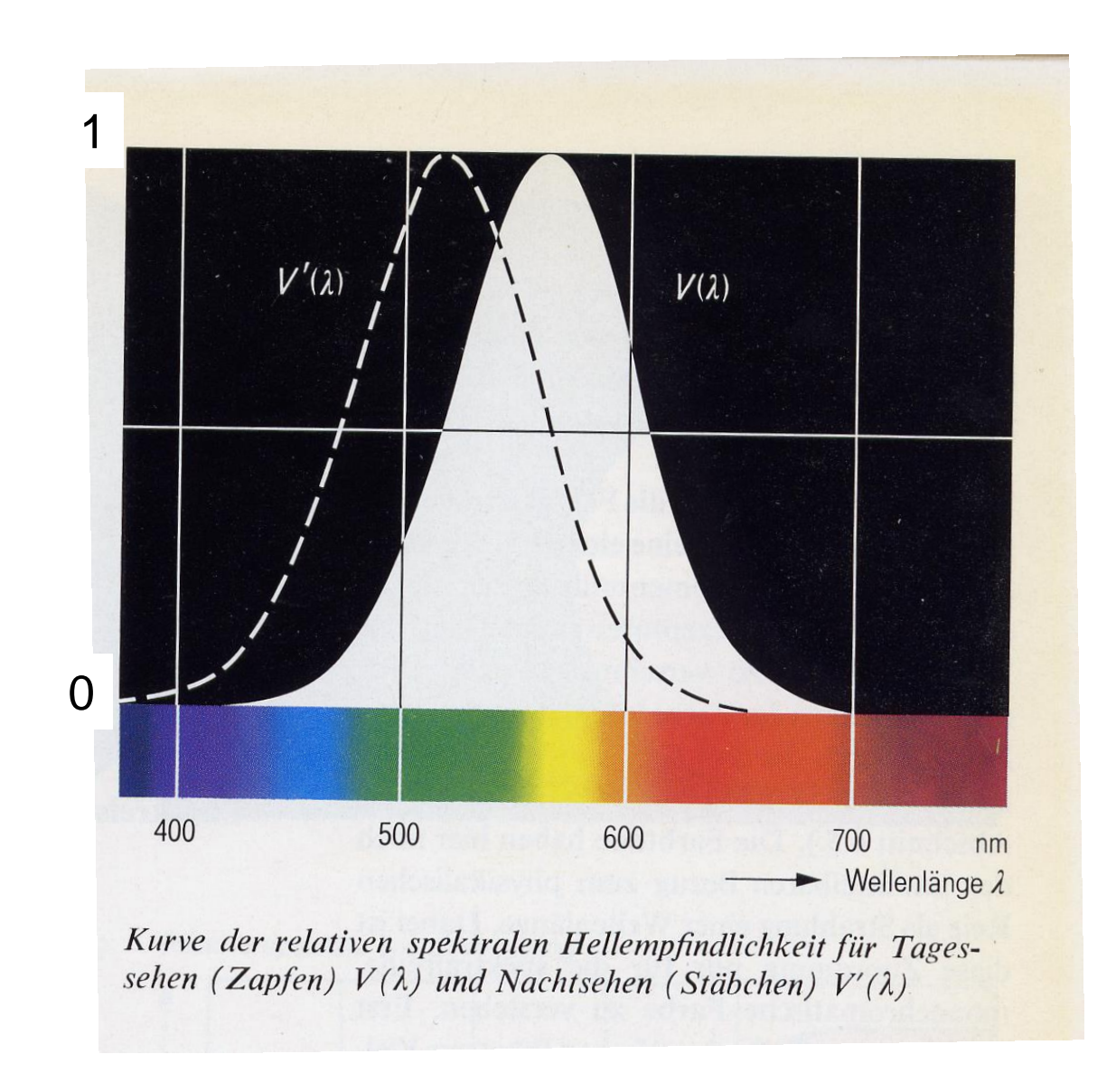
$$\eta_{\text{ext}} = \frac{\text{\# of photons emitted into free space per sec.}}{\text{\# of electrons injected into LED per sec.}} = \frac{P/(hv)}{I/e} = \eta_{\text{int}} \ \eta_{\text{extraction}}$$

$$\eta_{\text{power}} = \frac{P}{IV}$$

#### Noch wichtiger für jegliche Beleuchtungsanwendung ist die Lichtausbeute

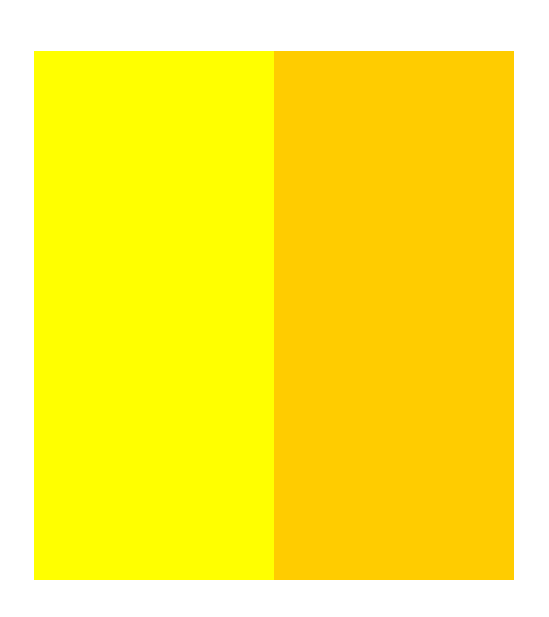


### LEDs in der Lichttechnik: Das Auge als Detektor



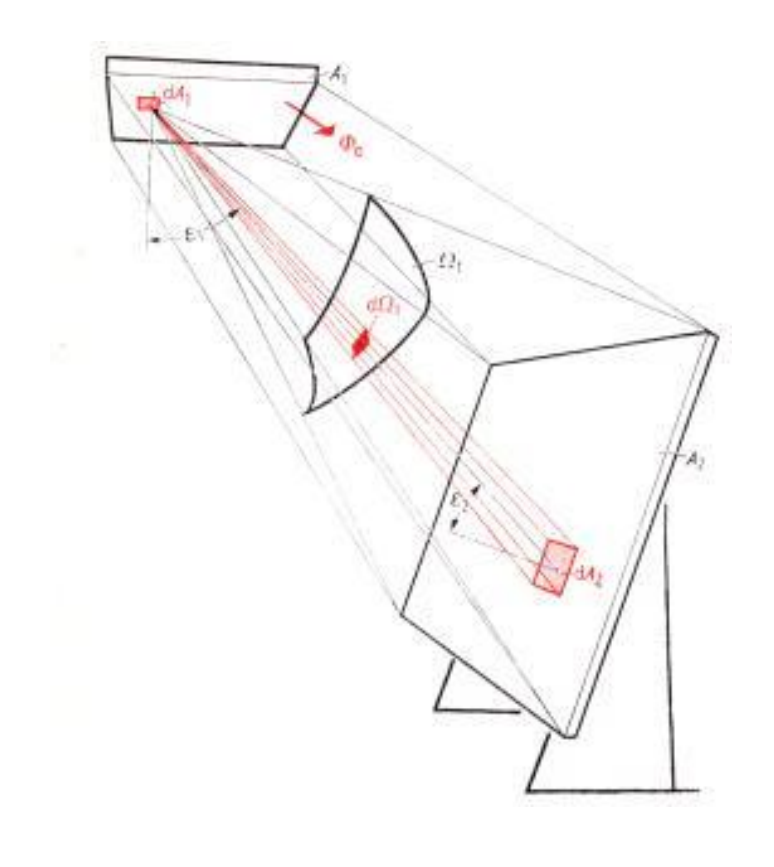
 $\rightarrow$  Maximum der Hellempfindlichkeit bei  $\lambda_0$ =555 nm (Hellsehen) bzw. 507 nm (Nachtsehen)

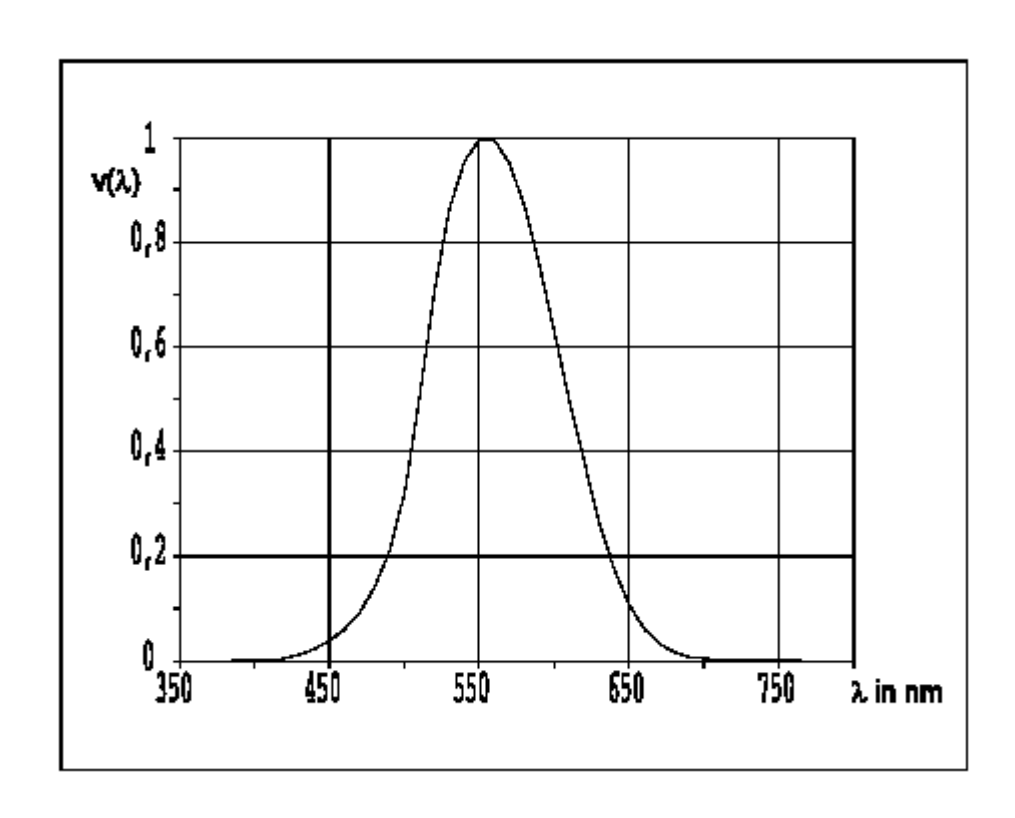
### Hellempfindlichkeit



- bei gleicher physikalischer Strahldichte erscheinen andersfarbige Bereiche unterschiedlich hell
- aus Messungen mit vielen farbnormalsichtigen Beobachtern enstand 1924 die spektrale Hellempfindlichkeitskurve

### **Strahlungsfluss und Lichtstrom**





Strahlungsfluss

(Energiefluss von einer Fläche durch eine andere)

### Vom Strahlungsfluß zum Lichtstrom

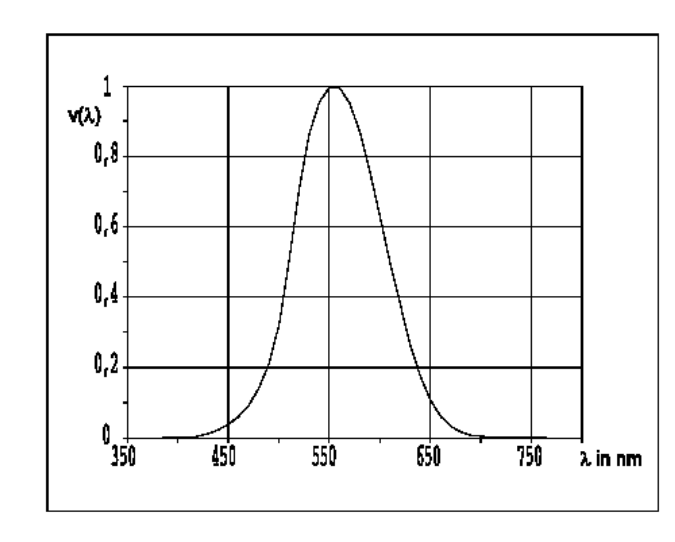
Bewertung des Strahlungsflusses durch Leistungsmessgerät:

Strahlungsfluß 
$$\phi_e$$
  $[\phi_e]=W$ 

Index e wie energetisch

#### Bewertung des Strahlungsflusses durch das Auge:

Übergang zum Lichtstrom b.,



$$\Phi_{v} = 683 \frac{Im}{W} \int_{380 \, nm}^{780 \, nm} v(\lambda) \frac{d\Phi_{e}}{d\lambda} d\lambda \qquad \left[\Phi_{v}\right] = \text{Im} \quad \text{(das Lumen)}$$

$$[\Phi_v] = \text{Im}$$
 (das Lumer

Index v wie visuell

Lichtausbeute: 
$$\eta = \frac{\Phi_v}{P_{el}} \left[ \frac{Im}{W} \right]$$

## Übersicht über die Vorlesung

- Einleitung
- II. Optik in Halbleiterbauelementen
- III. Herstellungstechnologien
- IV. Halbleiterleuchtdioden
  - IV.1 Elektrisches Verhalten
  - IV.2 Emissionseigenschaften von LEDs
  - IV.3 Effizienzen
  - IV.4 Auskoppelverluste
  - IV.5 Erhöhung der Auskoppeleffizienz
  - IV.6 Weisse LEDs
- V. Quantenmechanische Grundlagen der Optoelektronik
- VI. Laserdioden
- VII. Betrieb von Leucht- und Laserdioden
- VIII. Modulatoren
- IX. Weitere Quantenbauelemente

## **Optische Verluste in LEDs: 1. Absorption**

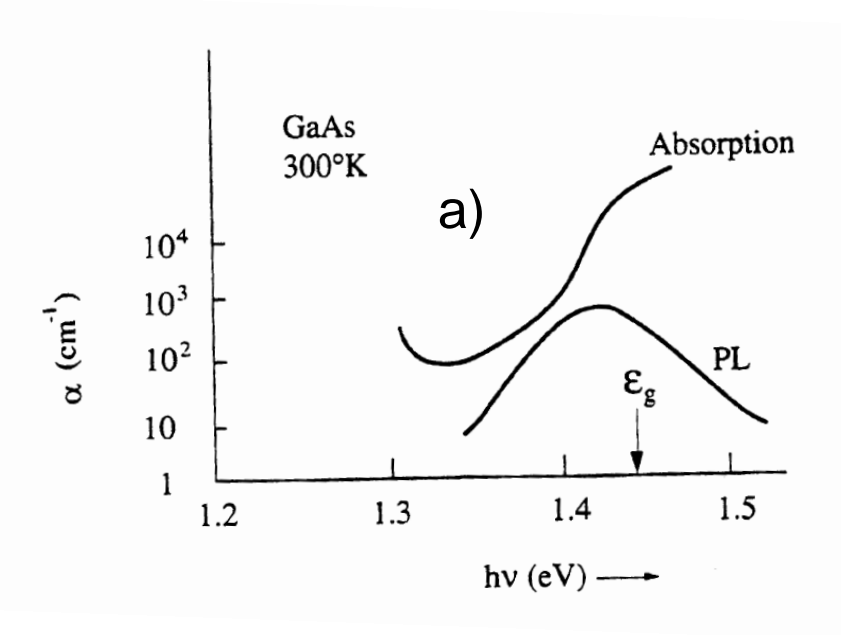
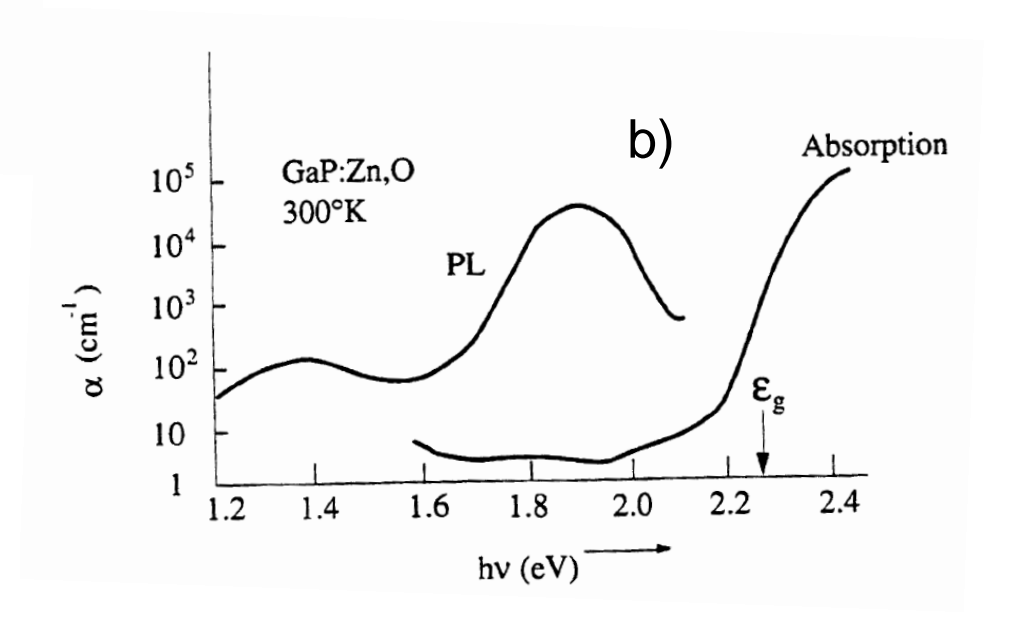


Figure 5.3 Absorption and luminescence spectra of (a) GaAs and (b) GaP:Zn,O at room temperature.

- Licht muss genügend nahe an der Oberfläche des HL-Materials erzeugt werden



### **Optische Verluste in LEDs: 2.: Fresnel-Verluste**

- Fresnel-Reflexion an der Oberfläche (senkrecht)

$$R = \left| \frac{n_1 - n_2}{n_1 + n_2} \right|^2$$

$$R_{III-V} \approx \left| \frac{3.6-1}{3.6+1} \right|^2 \approx 32\%$$

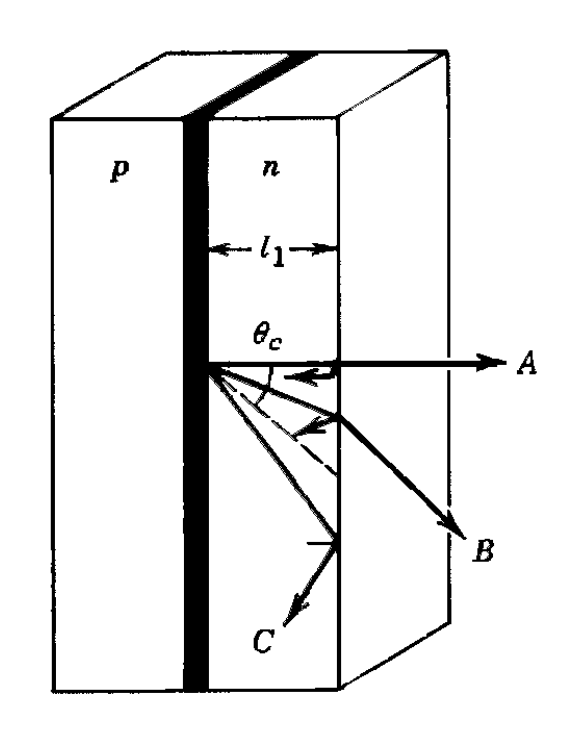


Abb.: Optische Verluste in LEDs

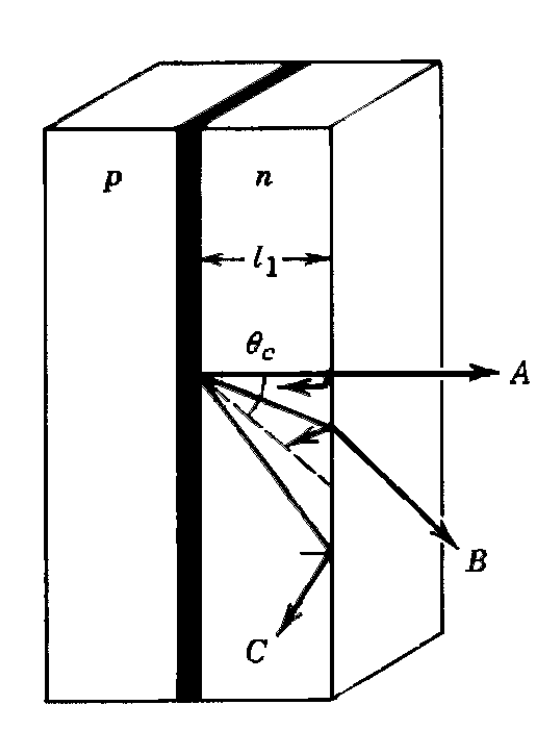
→ ca. 1/3 des Lichtes wird zurückreflektiert

## Optische Verluste in LEDs: 3.: Totalreflexion

-Totalreflexion tritt auf für Winkel größer als der kritische Winkel  $\theta_{\text{C}}$ 

$$\sin(\theta_C) = \frac{1}{n} \qquad \theta_C(n=3.6) = 16^{\circ}$$

→ das meiste Licht bleibt im Halbleiter



## Totalreflexion führt zu geringer Extraktion

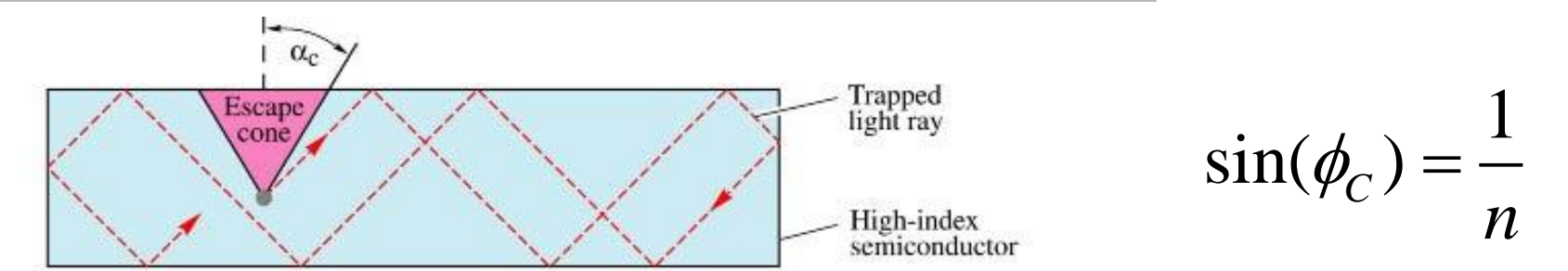


Fig. 6.3. Illustration of "trapped light" that cannot escape from a cube-shaped semiconductor for emission angles larger than  $\alpha_c$  due to total internal reflection.

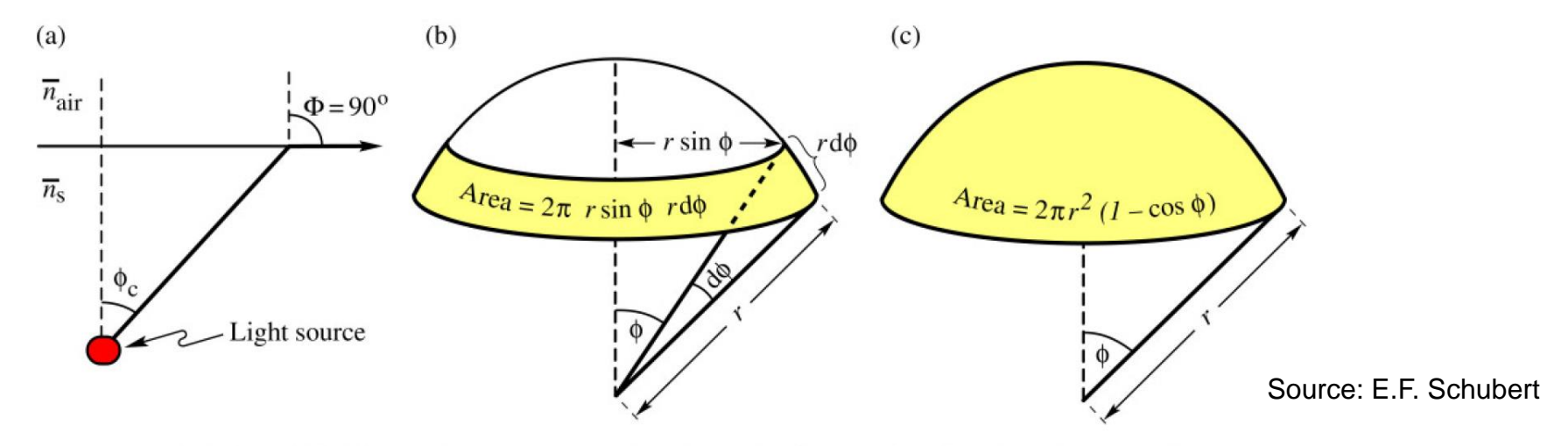


Fig. 5.3. (a) Definition of the escape cone by the critical angle  $\phi_c$ . (b) Area element dA. (c) Area of calotte defined by radius r and angle  $\phi_c$ .

Für eine quantitative Berechnung muss der Raumwinkel des Austrittskegels ins Verhältnis zum gesamten Raumwinkel gesetzt werden.

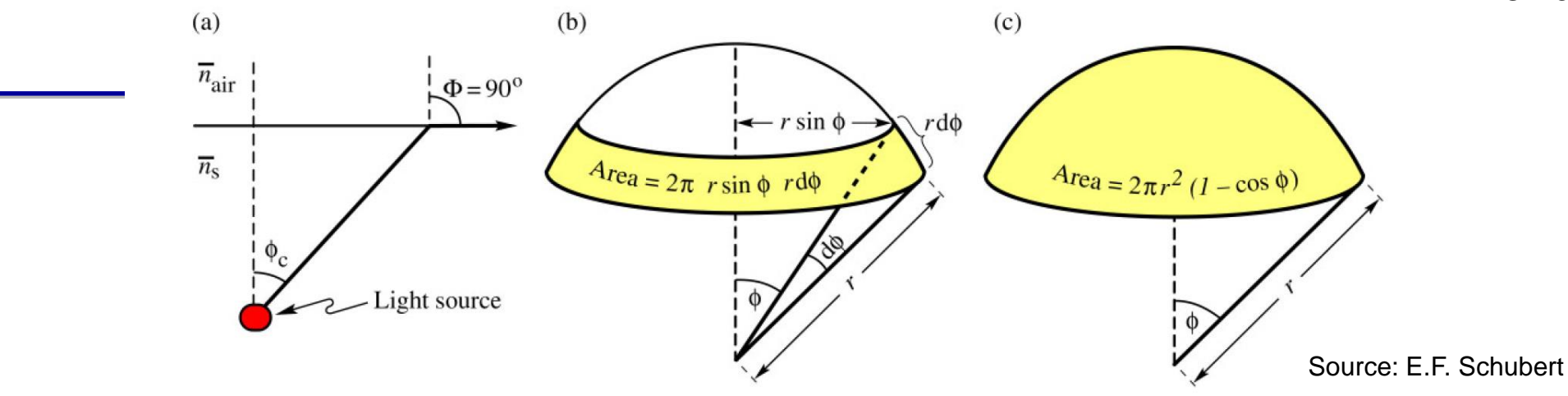


Fig. 5.3. (a) Definition of the escape cone by the critical angle  $\phi_c$ . (b) Area element dA. (c) Area of calotte defined by radius r and angle  $\phi_c$ .

$$A = \int dA = \int_{0}^{\varphi_{C}} 2\pi r \sin\phi r d\phi = 2\pi r^{2} \left(1 - \cos\phi_{C}\right)$$

Bei isotroper Emission ergibt sich damit für das Verhältnis:

$$\frac{P_{\text{esc}}}{P_{\text{total}}} = \frac{2\pi r^2 \left(1 - \cos\phi_{\text{C}}\right)}{4\pi r^2} = \frac{1}{2} \left(1 - \cos\phi_{\text{C}}\right)$$

Bei einem Brechungsindex n=3.6 (GaAs) ergibt sich damit ein Wert von nur 2 %!!

## Auskoppeleffizienzen in LEDs

Für Hochindexmaterialien und damit kleine kritische Winkel kann der Kosinus entwickelt werden:

$$\frac{P_{esc}}{P_{total}} = \frac{1}{2} \left( 1 - \cos \phi_{C} \right) = \frac{1}{2} \left( 1 - \left( 1 - \frac{\phi_{C}^{2}}{2} + \dots \right) = \frac{1}{2} \left( 1 - 1 + \frac{1}{2} \left( \arcsin \frac{1}{n} \right)^{2} + \dots \right)$$

$$\approx \frac{1}{4} \frac{1}{n^2}$$
 bzw.  $\frac{1}{4} \frac{n_{\text{ext}}^2}{n_{\text{int}}^2}$ 

Die Verbesserung der Auskoppelung war/ist ein Schlüssel zum Erfolg für den Einsatz von LEDs in der Allgemeinbeleuchtung.

## Übersicht über die Vorlesung

- Einleitung
- II. Optik in Halbleiterbauelementen
- III. Herstellungstechnologien
- IV. Halbleiterleuchtdioden
  - IV.1 Elektrisches Verhalten
  - IV.2 Emissionseigenschaften von LEDs
  - IV.3 Effizienzen
  - IV.4 Auskoppelverluste
  - IV.5 Erhöhung der Auskoppeleffizienz
  - IV.6 Weisse LEDs
- V. Quantenmechanische Grundlagen der Optoelektronik
- VI. Laserdioden
- VII. Betrieb von Leucht- und Laserdioden
- VIII. Modulatoren
- IX. Weitere Quantenbauelemente

### Backside mirror: Photonen über Bande

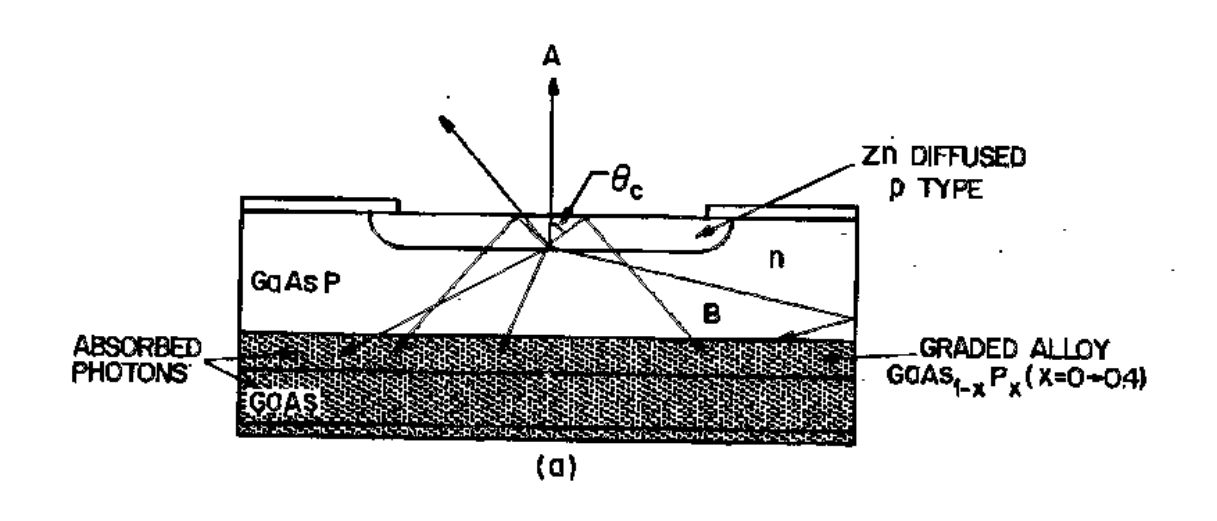


Abb.: LED mit absorbierendem Substrat

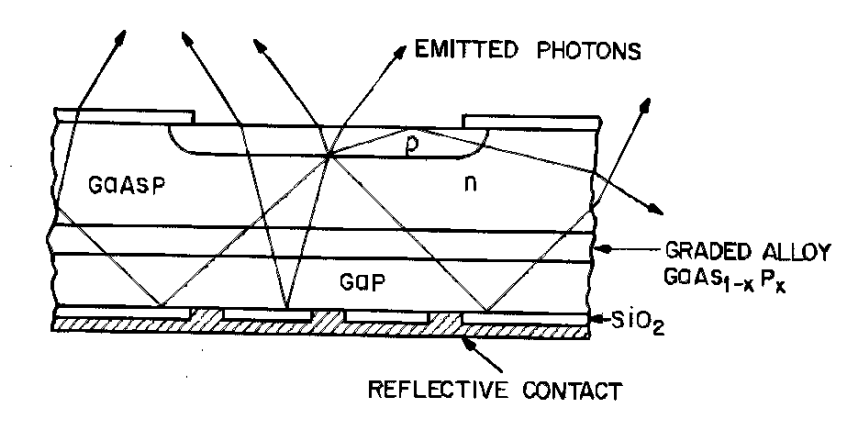


Abb.: LED mit

reflektierendem Substrat

- -Vermeidung der Absorption in einem Substrat niedriger Bandlücke
- -dielektrische oder metallische Spiegelschichten

## The role of an epoxy dome

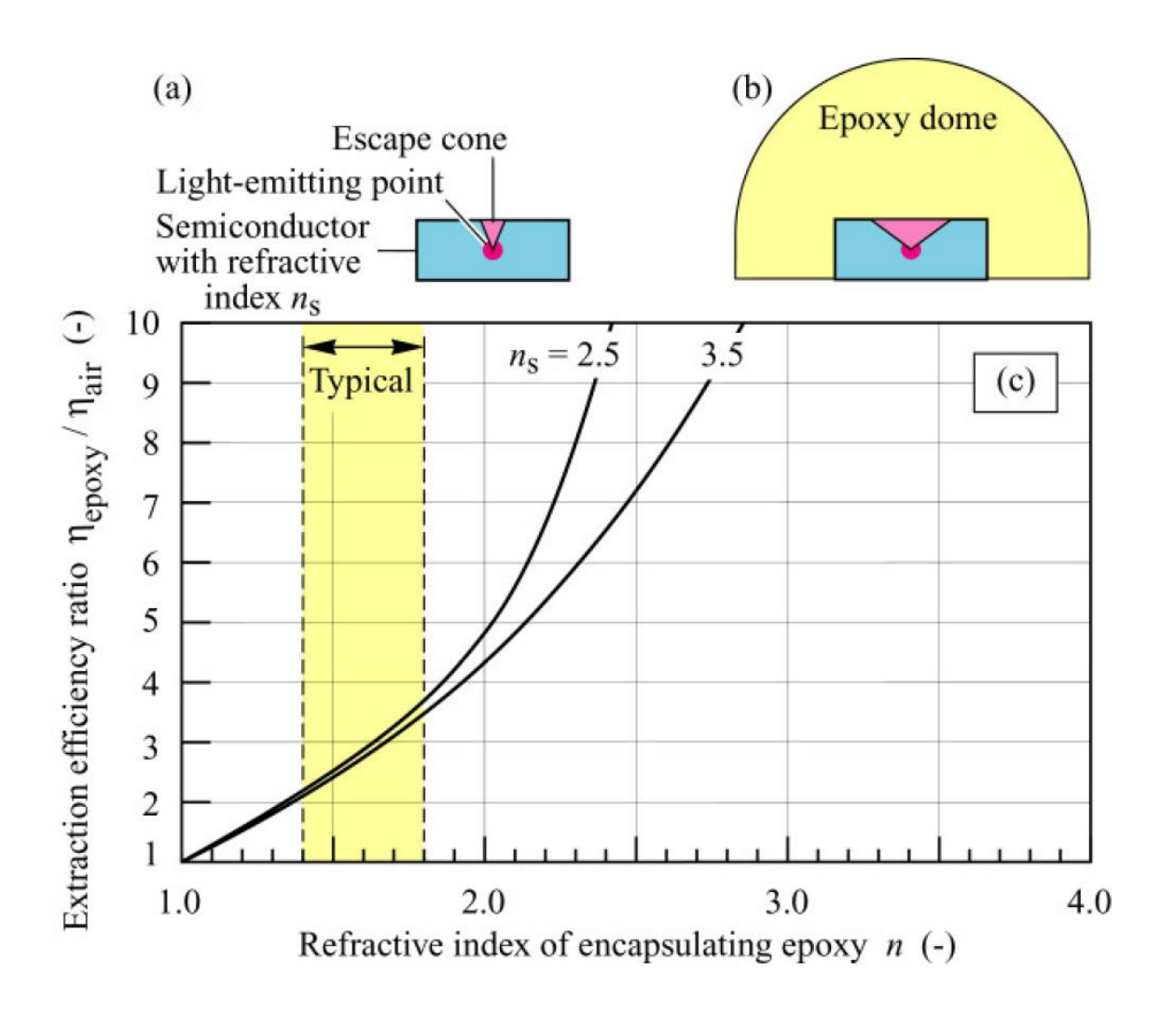


Fig. 5.6. (a) LED without and (b) with dome-shaped epoxy encapsulant. A larger escape angle is obtained for the LED with an epoxy dome. (c) Calculated ratio of light extraction efficiency emitted through the top surface of a planar LED with and without an epoxy dome. The refractive indices of typical epoxies range between 1.4 and 1.8 (adopted from Nuese *et al.*, 1969).

## Spezielle Oberflächengeometrien

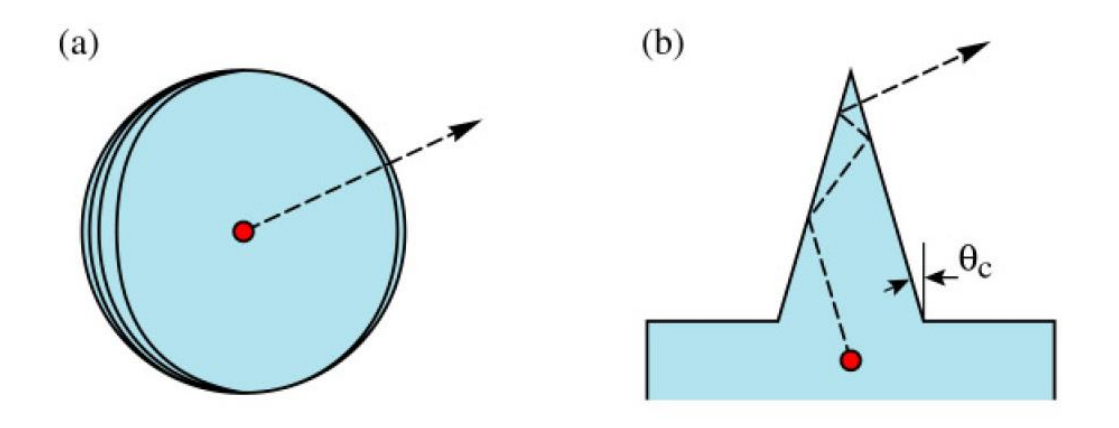


Fig. 7.4. Schematic illustration of different geometric shapes for LEDs with perfect extraction efficiency. (a) Spherical LED with point-like light-emitting region in the center of the sphere. (b) Coneshaped LED.

- Kugelförmige LEDs wären eigentlich ideal
- leider sehr aufwändig/nicht machbar in der Herstellung
- kegelförmige LEDs sind ebenfalls aufwändig aber im Prinzip kompatibel mit Lithographie- und Ätzprozessen

### Hocheffiziente Geometrien: Die TIP(Truncated inverted pyramid)

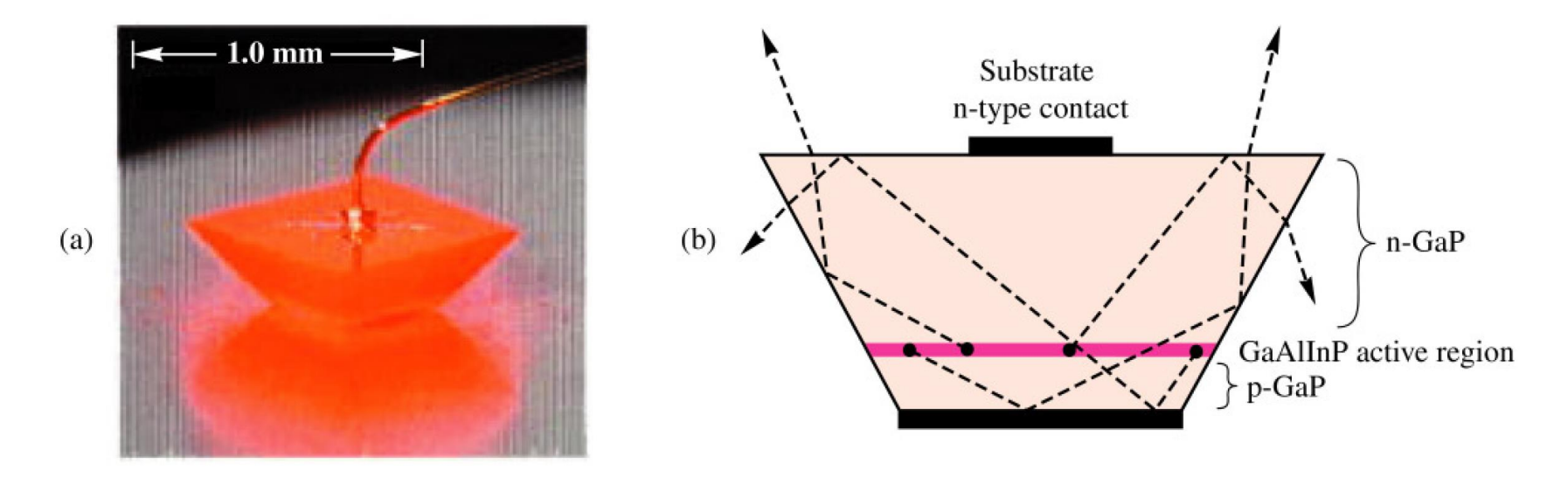
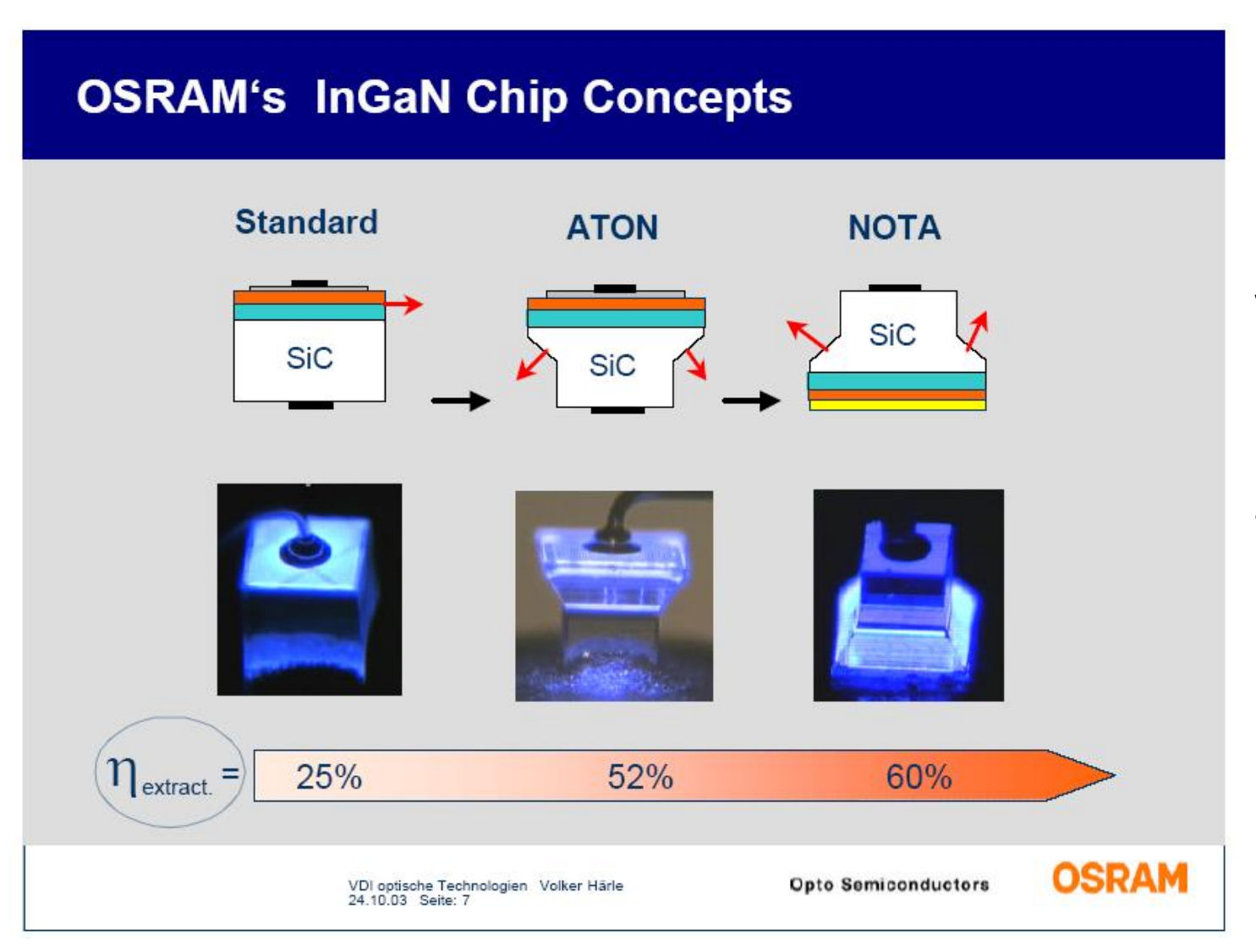


Fig. 7.6. Truncated inverted pyramid (TIP) AlInGaP/GaP LED. (a) LED driven by an electrical injection current. (b) Schematic diagram of the LED illustrating the enhanced light extraction efficiency (after Krames *et al.*, 1999).

- erstmaliger Nachweis einer 100 lm/W-LED im Jahre 1999
- Numerische Optimierung der Struktur durch Ray-Tracing (Strahlverfolgung)
- Verwendung von transparenten GaP-Schichten

### **Optimierte blaue LEDs**



- TIP-ähnliche Strukturen wurden von OSRAM-OS in der Folge realisiert
- -Verwendung von SiC als transparentes Substrat

### **Microstructured Surfaces**

 Microstructuring surface area increases the external quantum efficiency, since most of the light escapes at the edges.

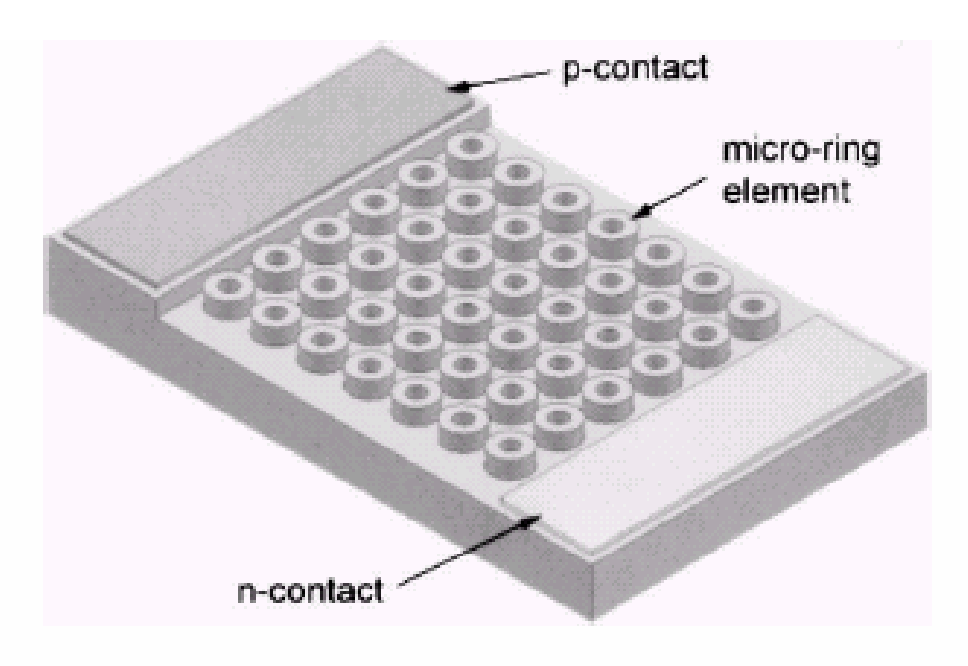
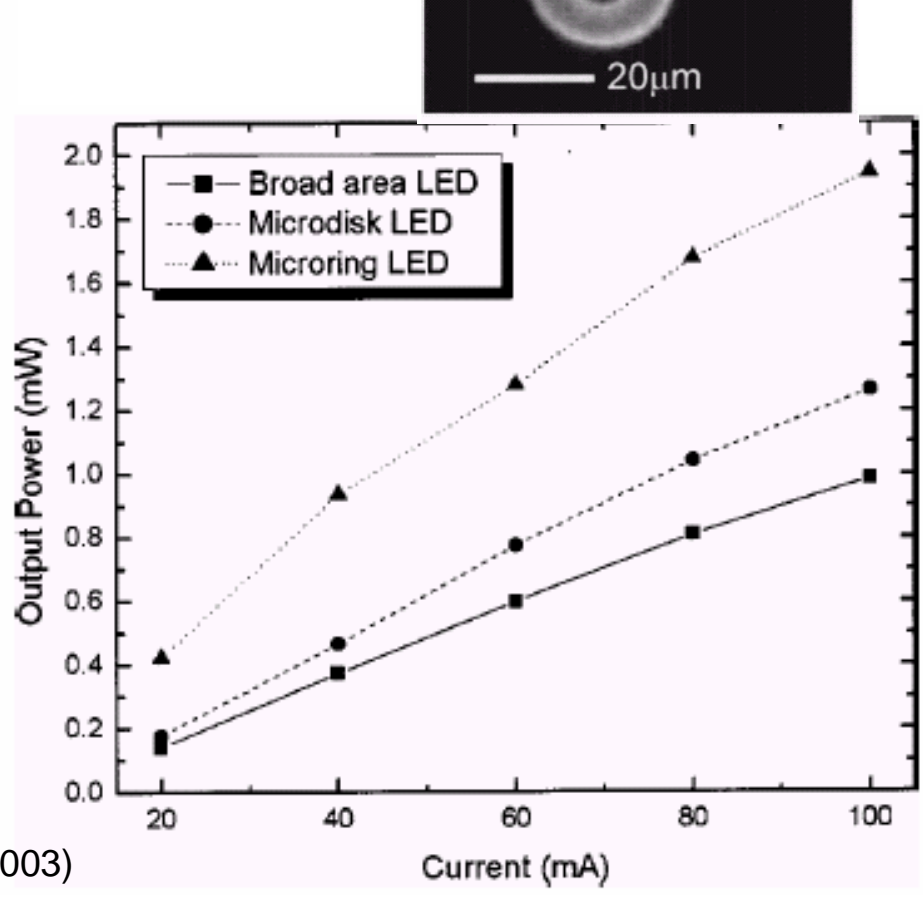


FIG. 1. Schematic diagram of a micro-ring LED (not to scale)



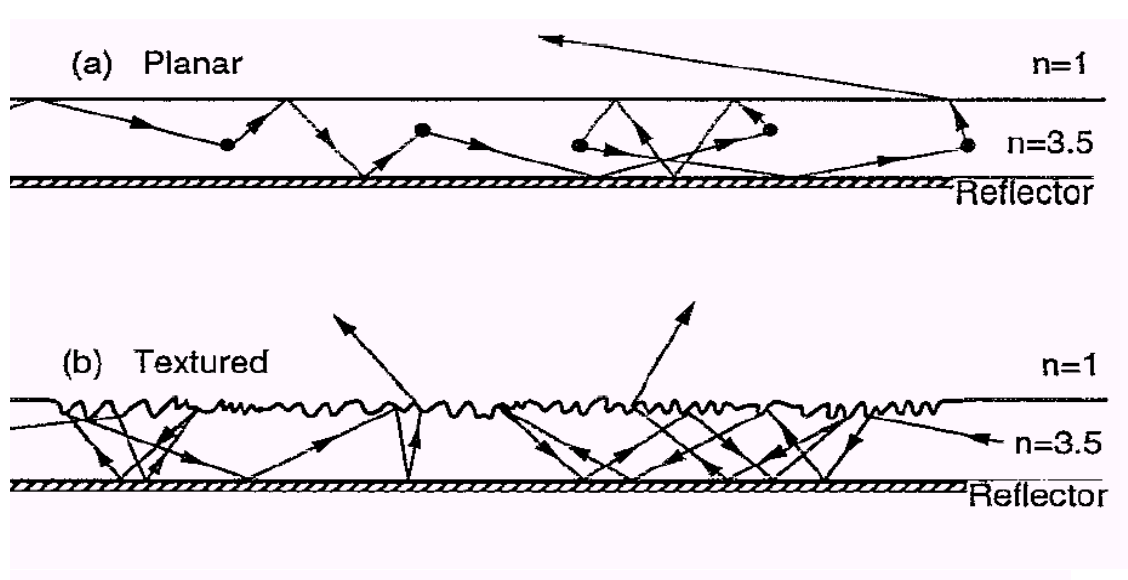
H. W. Choi et al., Appl. Phys. Lett. 83/22, pp. 4483-4485 (2003)

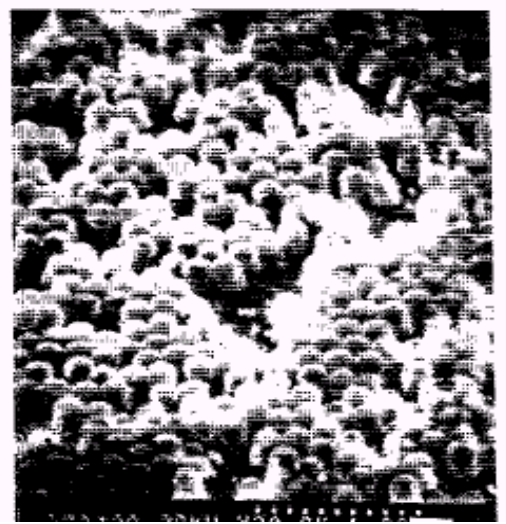
### Texturierte Oberflächen

Textured surfaces randomize the propagation direction of photons and thus increase the escape probability.

External quantum efficiency increased from 9 % to 30 %.

Natural lithography: Polystyrene spheres, 0.2~μm diam, coat the surface of the LED in a randomly close-packed array. The spheres then act as an etch mask for Cl, assisted Xe + ion beam etching, about 0.17μm deep.







I. Schnitzer et al., Appl. Phys. Lett. 62/02, pp. 131- 133 (1993)

#### **Current spreading**

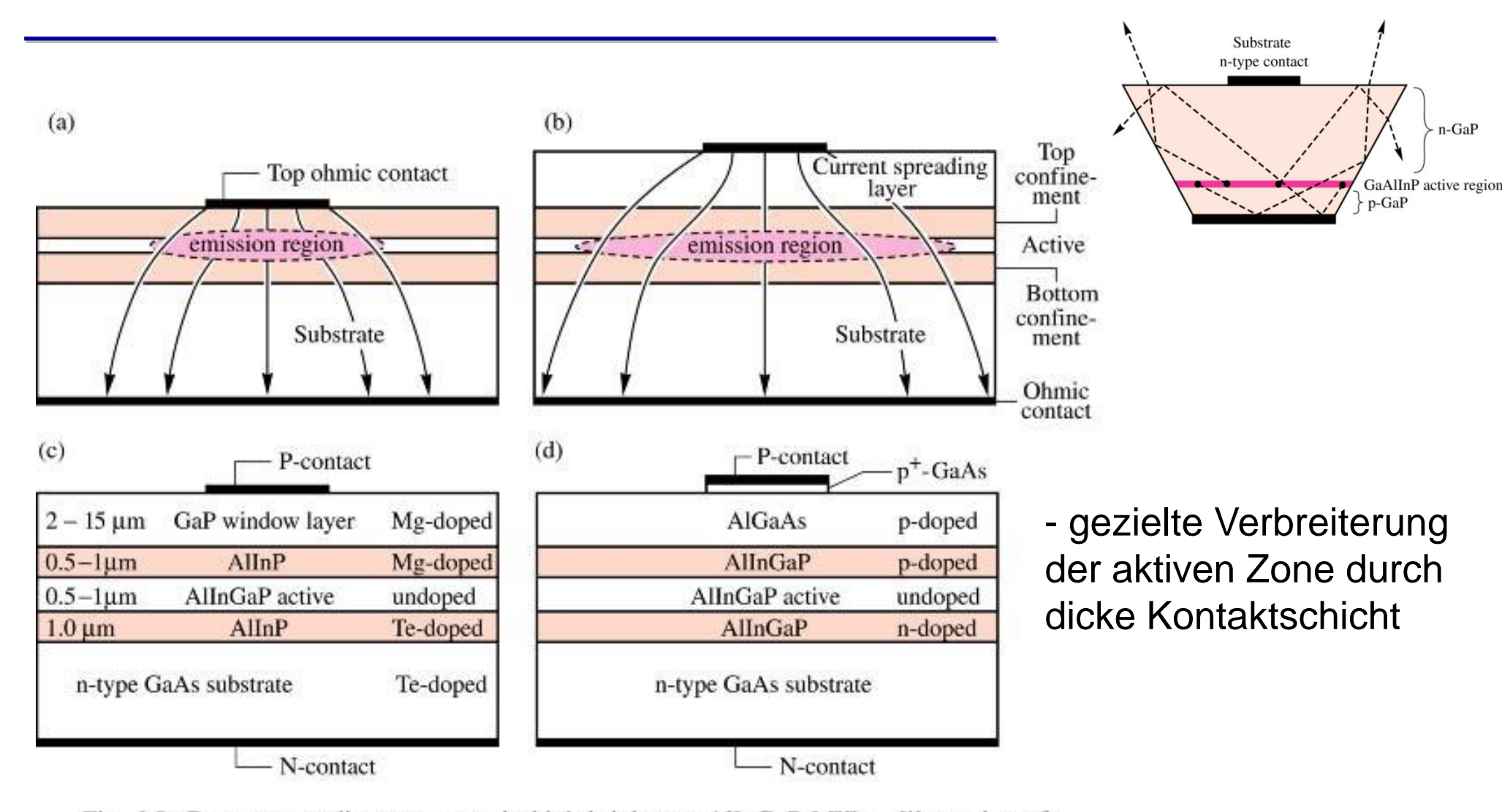
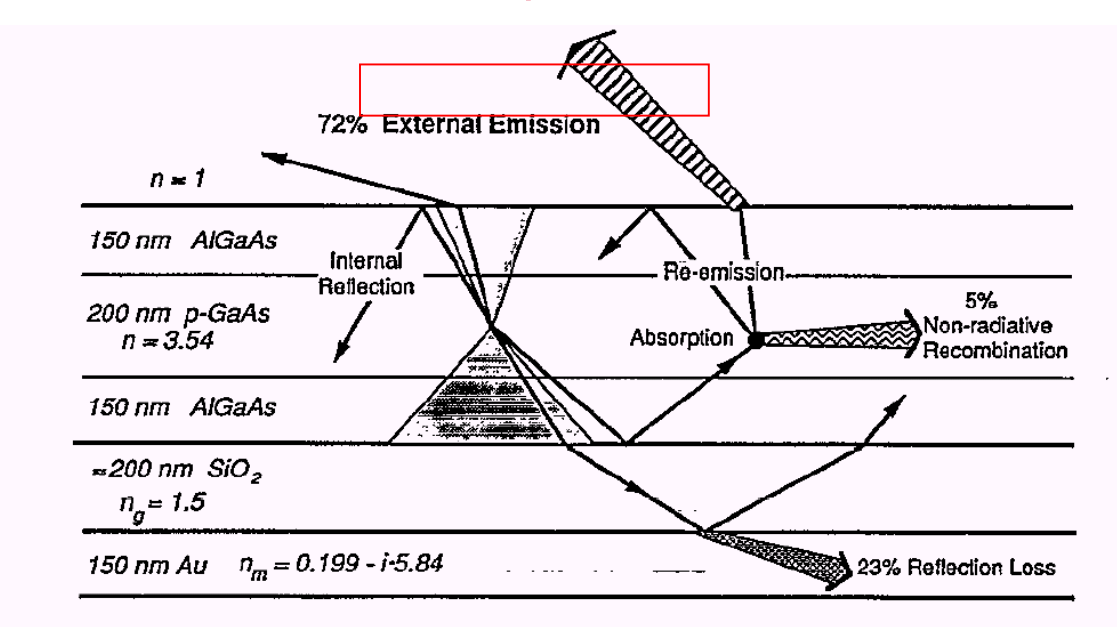


Fig. 6.8. Current spreading structures in high-brightness AlInGaP LEDs. Illustration of the effect of a current spreading layer for LEDs (a) without and (b) with a spreading layer on the light extraction efficiency. (c) GaP current spreading structure (Fletcher *et al.*, 1991). (d) AlGaAs currect spreading structure (Sugawara *et al.*, 1992).

## **Photon Recycling**

Absorption and re-emission of photons results in several chances for emission in the escape cone and thus increased h<sub>ext</sub>.



⇒ Other losses in the structure have to be minimal, since many "reincarnations" are necessary before the escape cone is found.

FIG. 1. Schematic cross section of epi-liftoff heterostructure, Van der



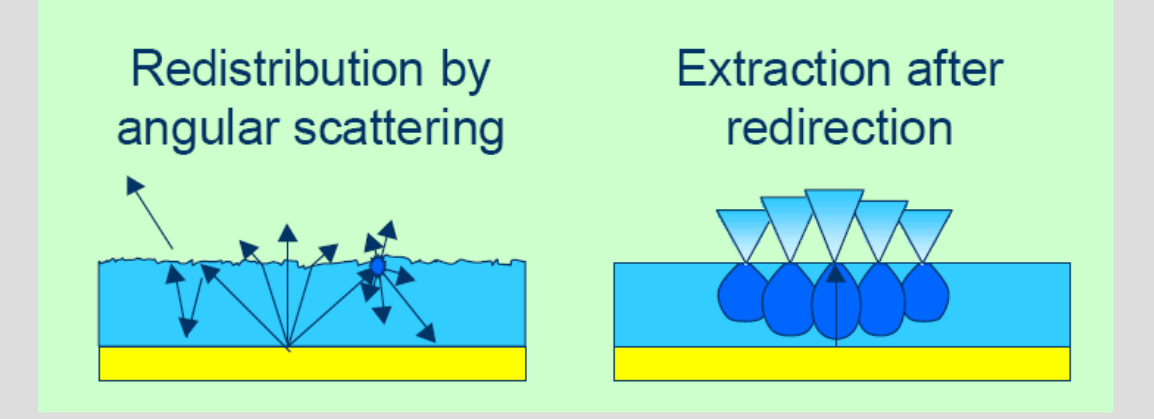
FIG. 2. Typical photon trajectory in the heterostructure shown in Fig. 1. Dots represent absorption/emission events. High external efficiency demands  $\sim 25$  such events before a photon finds the escape cone.

I. Schnitzer et al., Appl. Phys. Lett. 62/02, pp. 131- 133 (1993)

### Chip Design for Thinfilm LED: ThinGaN™ **TOPVIEW SIDEVIEW** Al-bondpad n-terminal 280µm n-GaN MQWactive p-GaN <u>mirror</u> Solder layer Carrier Submount (could be anything) p-terminal

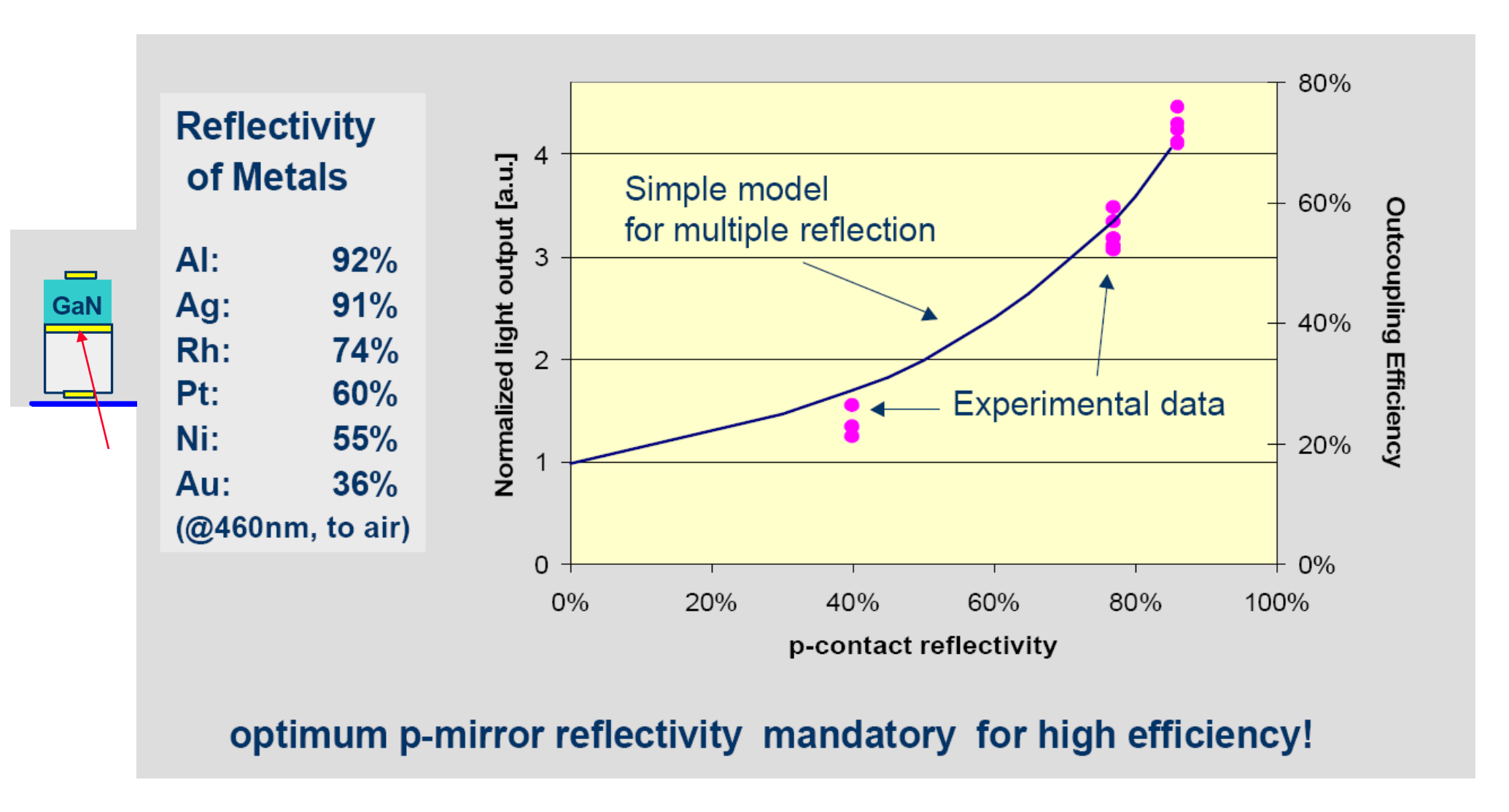
### Thinfilm Concept

- reduced internal absorption
- ergodic angular distribution
- thin layers
- highly reflective mirrors
   ⇒ mirror material design
  - ⇒ surface texturing

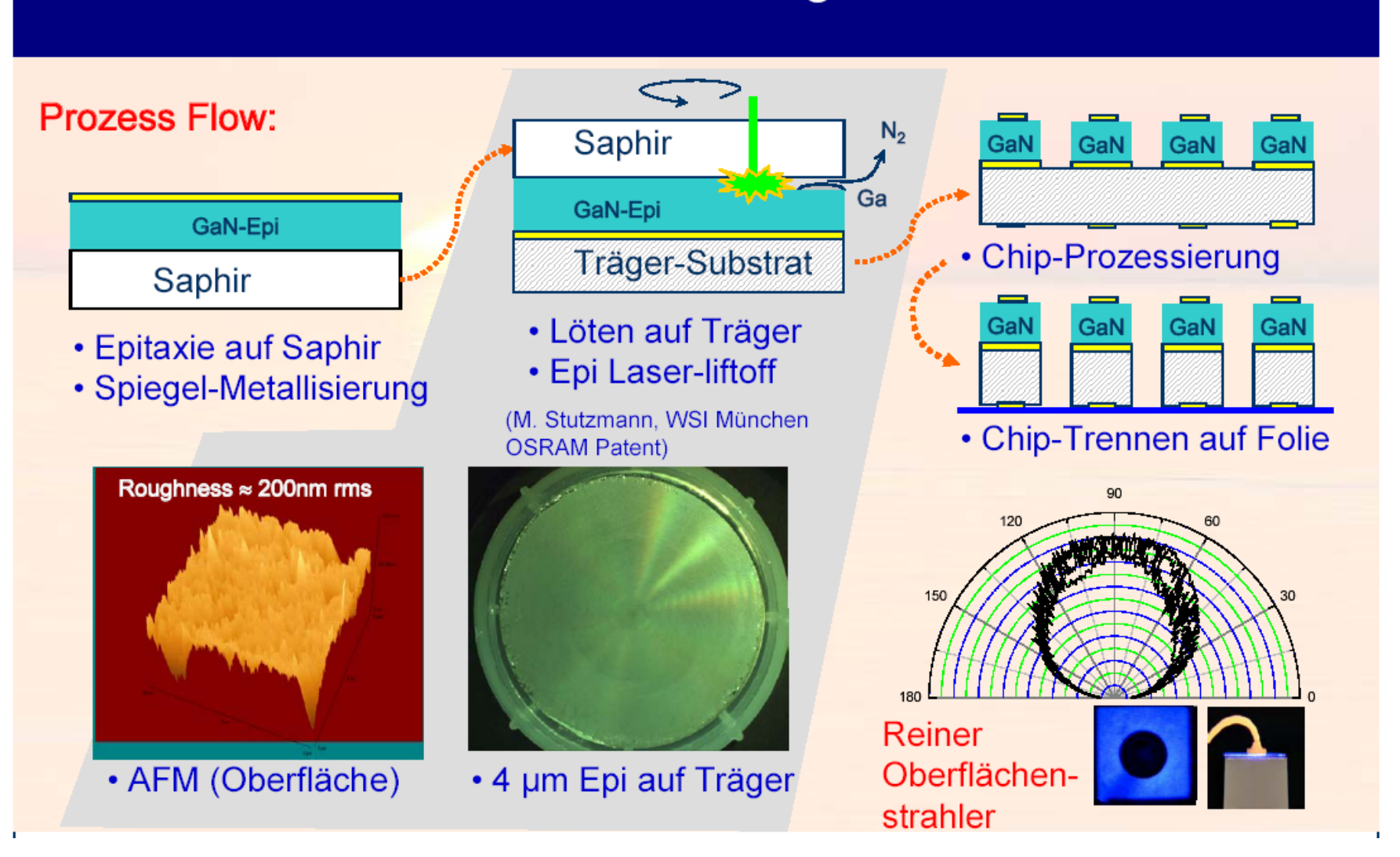


"Give photons multiple chances to find an escape cone"

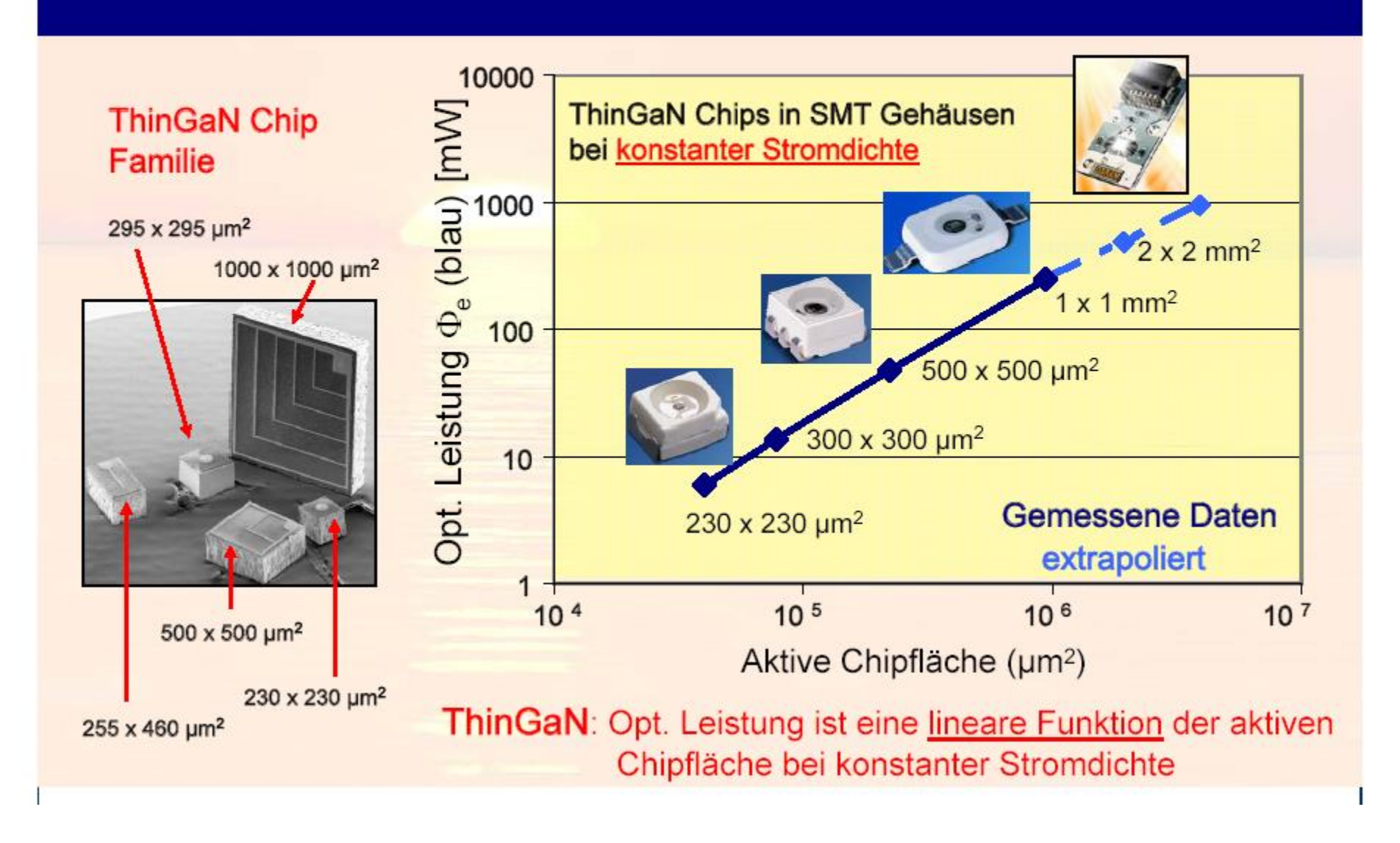
## Optimized p-type backside mirror



### Prozess Flow bei der Herstellung von InGaN-Dünnfilm



### Volle Skalierbarkeit der ThinGaN Technologie



### ThinGaN Technology

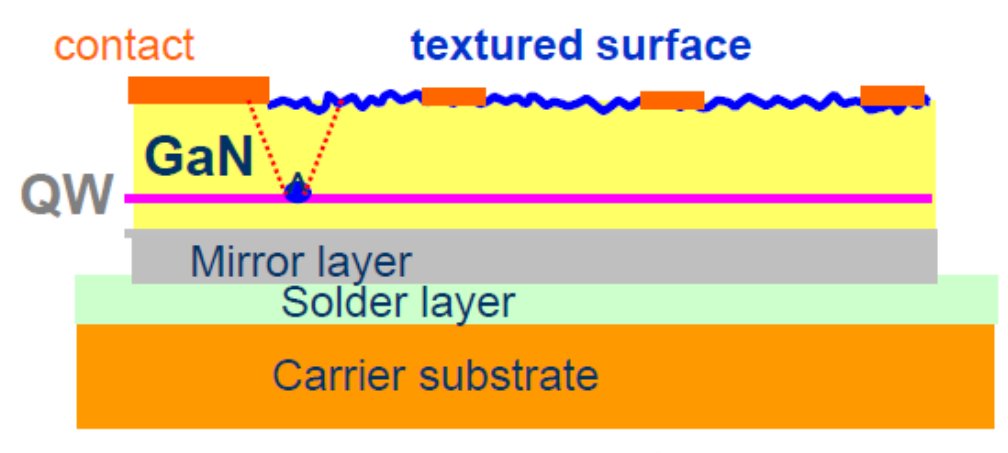
The Way to Improve Light Extraction

#### Thinfilm principle:

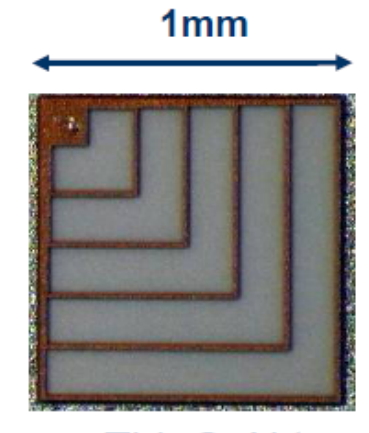
- prevent absorption in substr.
- low internal absorption
- prevent waveguiding

#### Present actions:

- ⇒ improve mirror reflectivity
- ⇒ reduce / omit n-contacts
- ⇒ optimize surface roughness



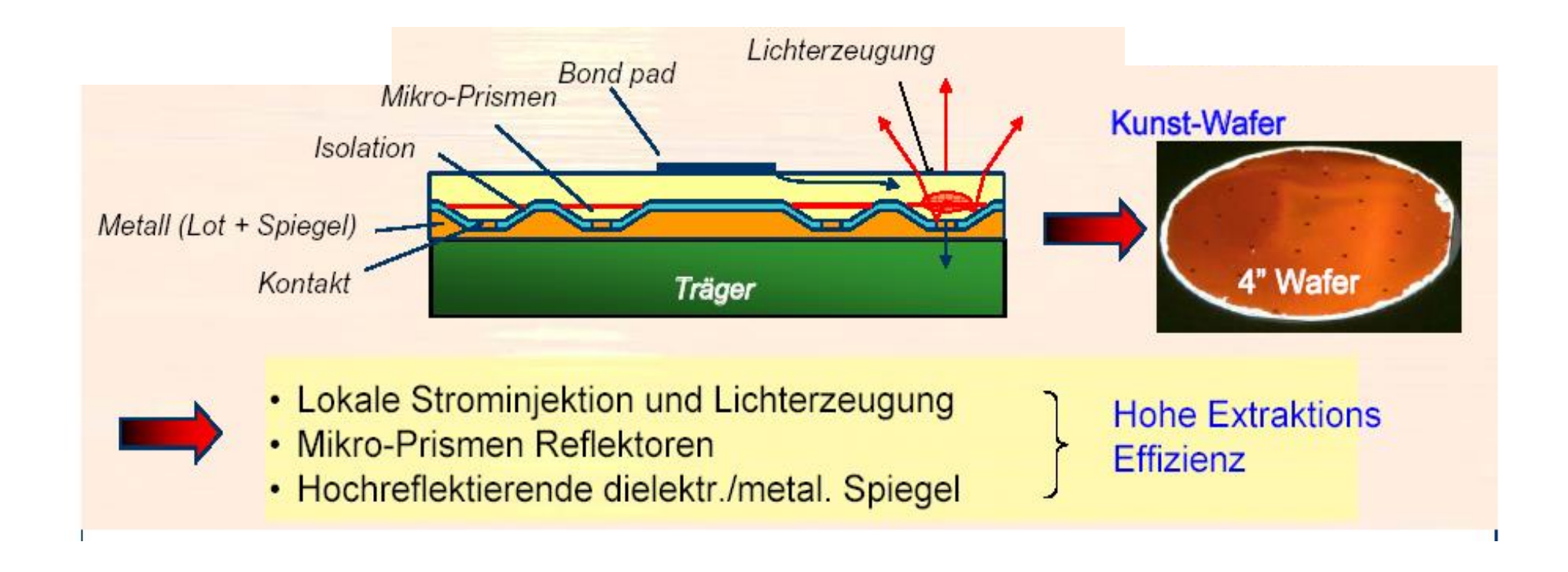
PowerThinGaN; schematic side view



Power ThinGaN top view

- ➤ Light extraction of >80% is reached
- ➤ Scalability of chip size @ same extraction efficiency

### Mikrostrukturierte Oberflächen bei AlGalnP



Auskopplung durch Mikrostrukturierung bei AlGaInP-LEDs (rot)